



**UNIVERSITÀ  
DI PARMA**

DIPARTIMENTO DI INGEGNERIA E ARCHITETTURA

Corso di Laurea Magistrale in Ingegneria Meccanica

Esame di:

“DINAMICA E CONTROLLO DEI SISTEMI MECCANICI”

**MODELLAZIONE E CONTROLLO DI SISTEMI MECCANICI A PIU' GRADI DI LIBERTA'**

**Studenti:**

Elisa Bertozzi 352195

Andrea Meni 353456

Gianluca Montomoli 353452

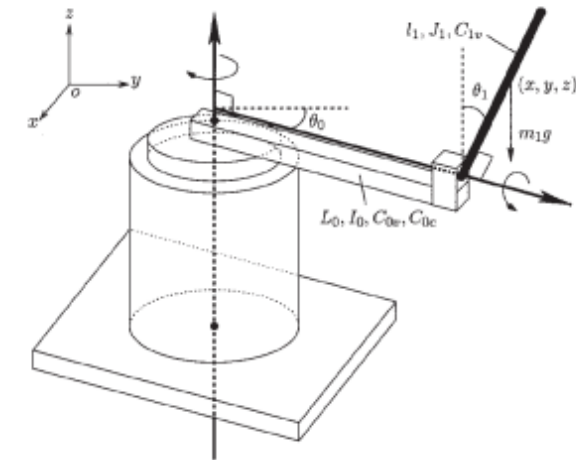
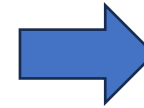
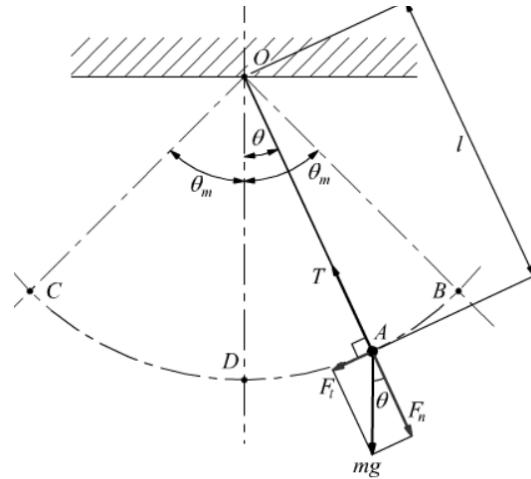
Roberto Ravaglia 356094

Anno Accademico 2023/24

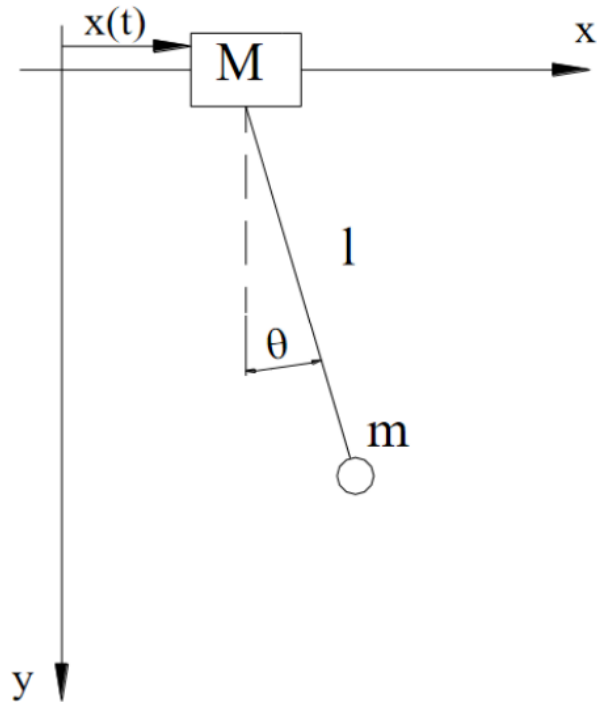
# INTRODUZIONE

Obiettivo del seguente progetto è quello di studiare e controllare la dinamica di sistemi meccanici a più gradi di libertà, partendo dal pendolo semplice ed arrivando a sistemi meccanici complessi, quali pendolo di Furuta e doppio pendolo inverso.

Per raggiungere lo scopo, si utilizzano Matlab e Simulink (con implementazione blocchi Simscape)



## PENDOLO SEMPLICE



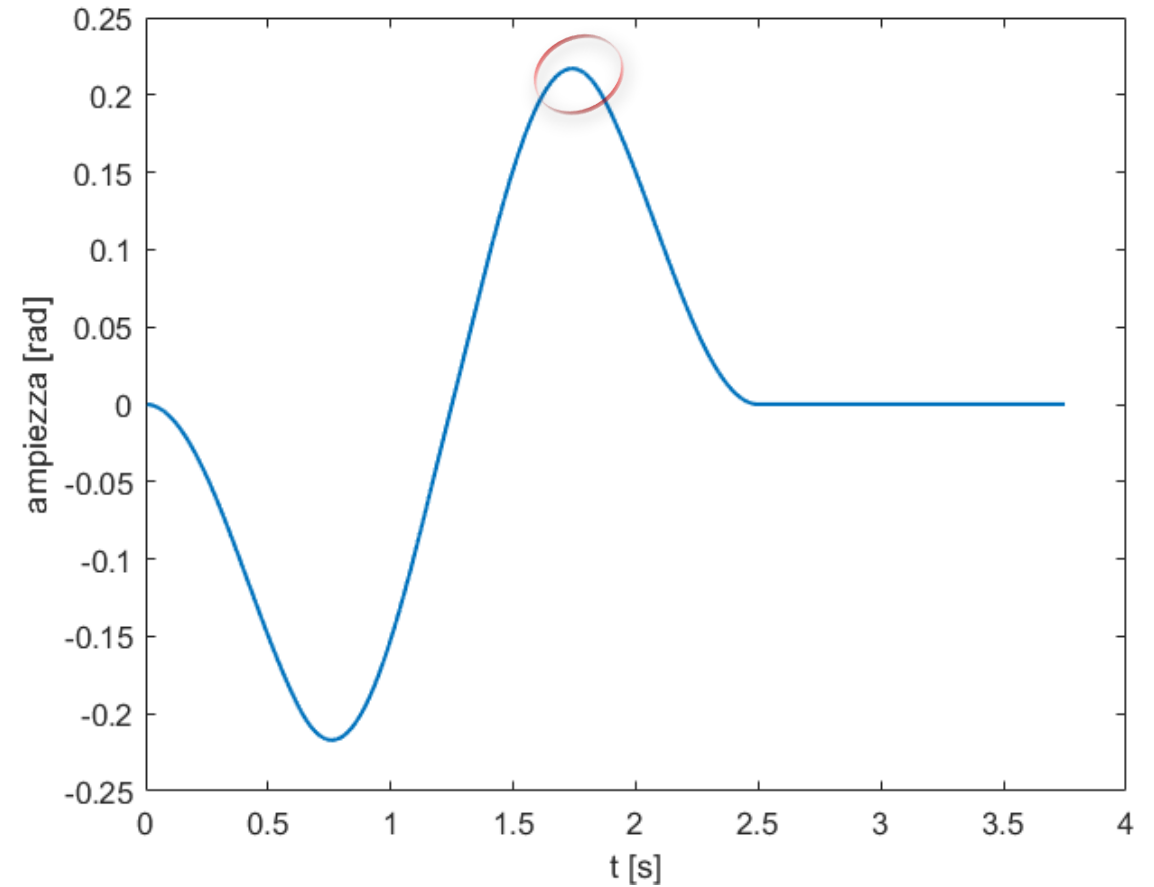
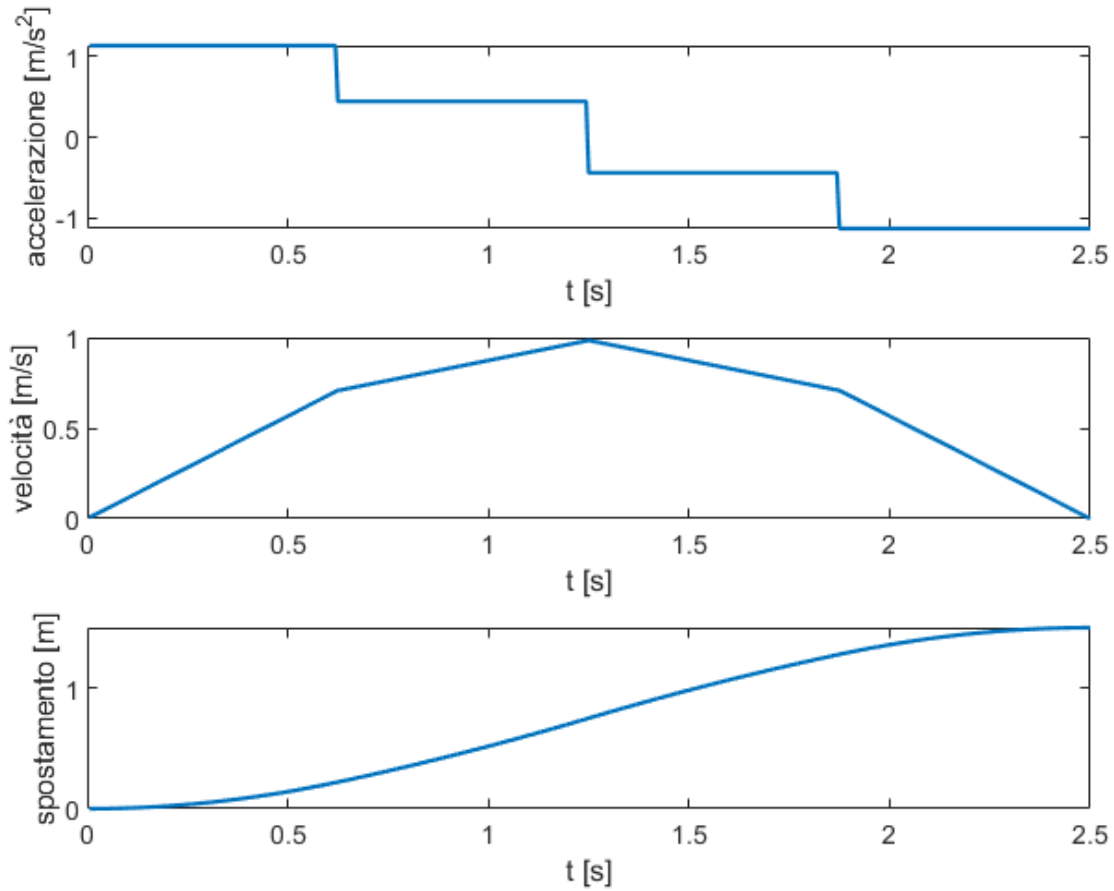
Massa	1 Kg
Lunghezza	0.7 m
Accelerazione di gravità	$9.81 \frac{m}{s^2}$
Spostamento richiesto	1.5 m
Tempo di fine azionamento	2.5 s

Modello Matematico:  $ml^2\ddot{\theta} + mgl\theta = m\ddot{x}$

Energia del sistema:  $E_{res} = \frac{1}{2}m\dot{\theta}^2 + \frac{1}{2}k\theta^2$

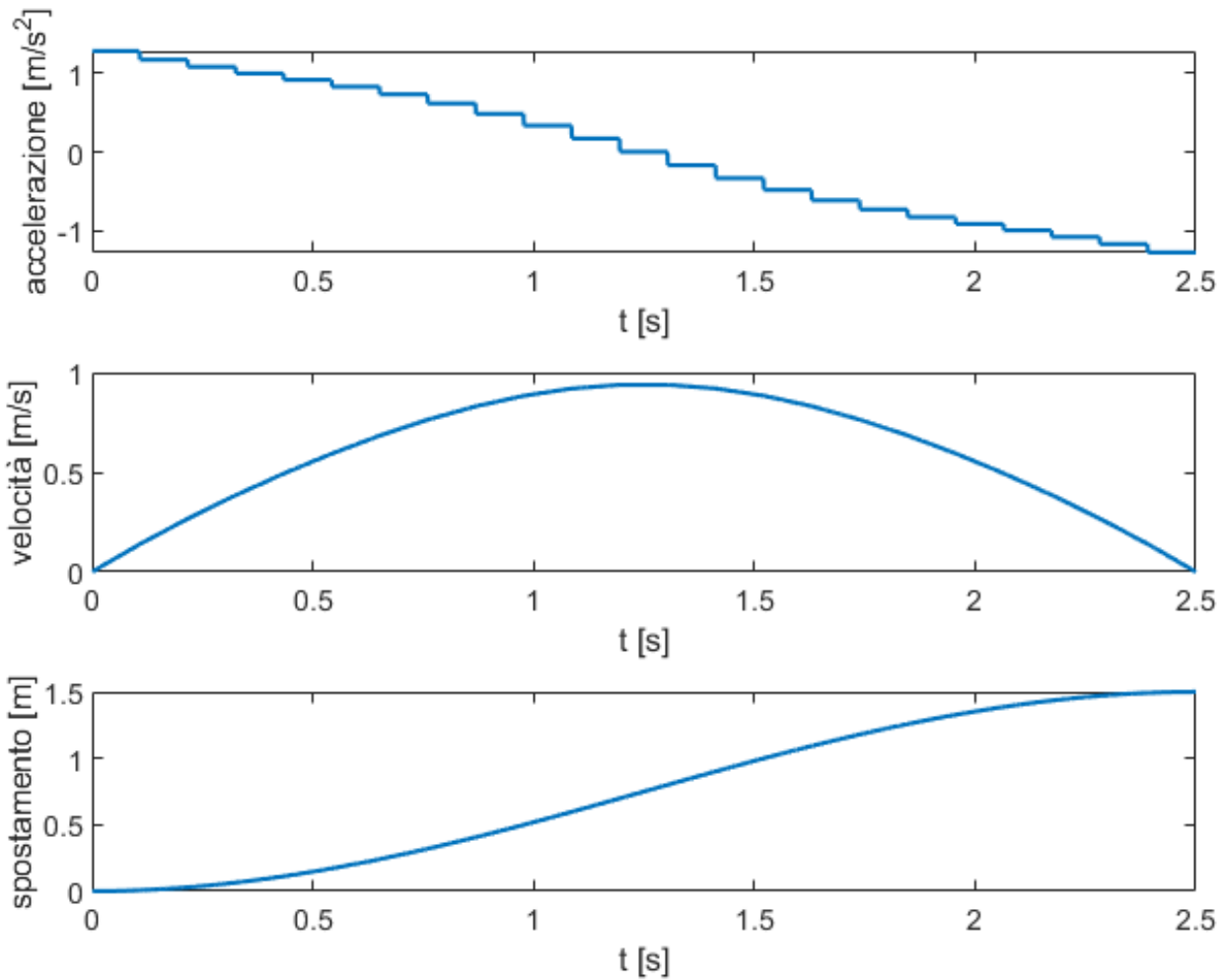
Il ciclo di calcolo incrementerà il numero di step «n» fino a soddisfare tutti i vincoli imposti.

## ACCELERAZIONE – VELOCITÀ – SPOSTAMENTO



Legge di moto con energia residua minore di  $10^{-4}$   
Valore assoluto della velocità finale minore di  $10^{-6}$

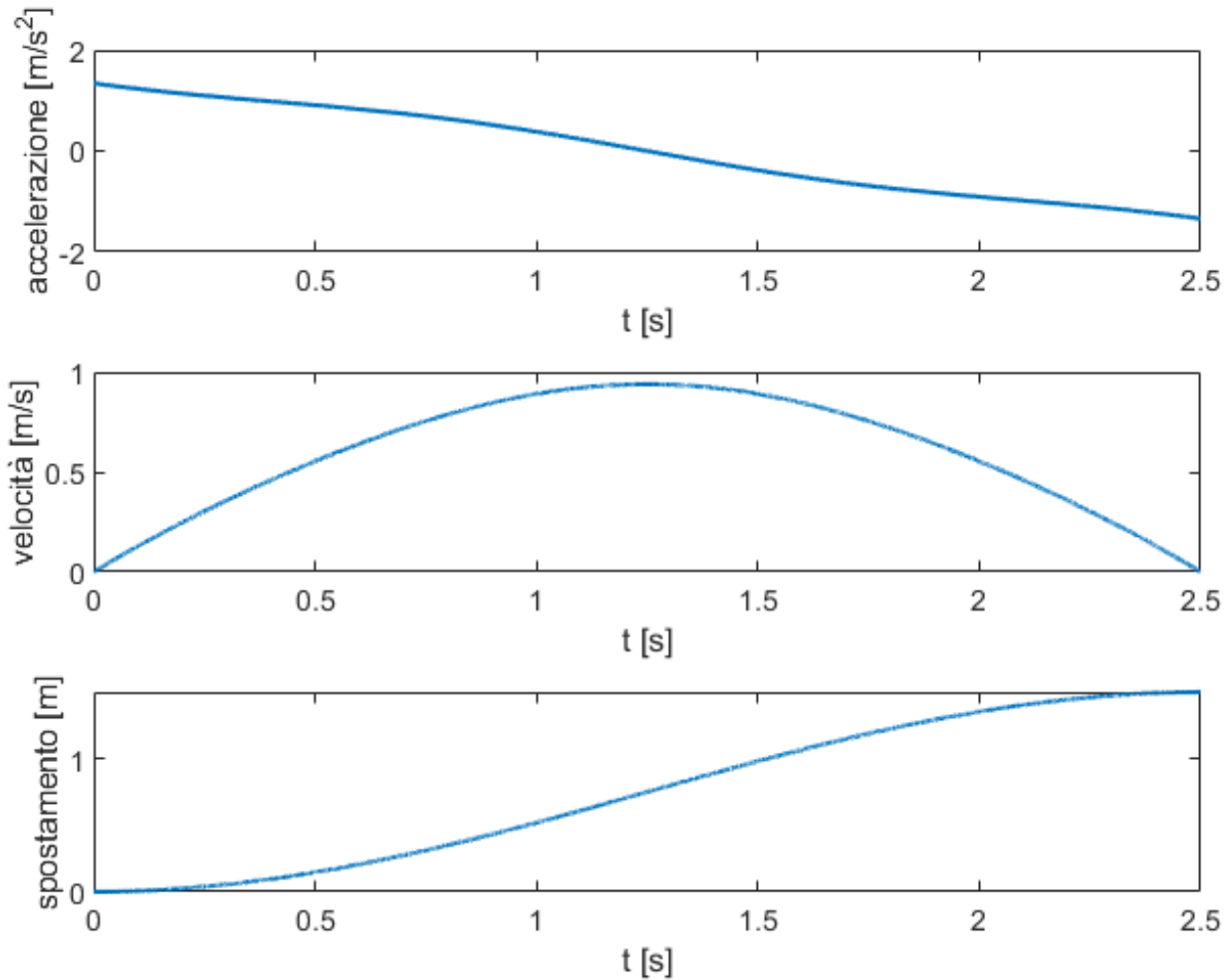
## ACCELERAZIONE – VELOCITÀ – SPOSTAMENTO



Legge di moto con energia residua minore di  $10^{-32}$

Valore assoluto della velocità finale minore di  $10^{-16}$

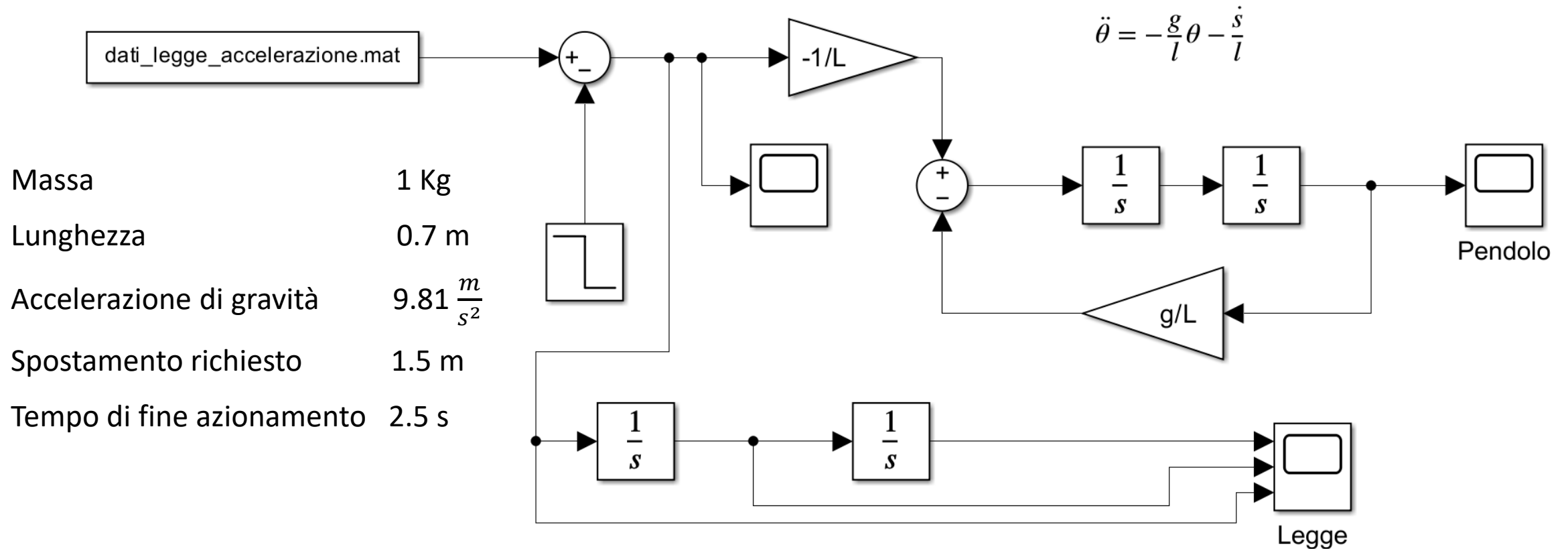
## ACCELERAZIONE – VELOCITÀ – SPOSTAMENTO



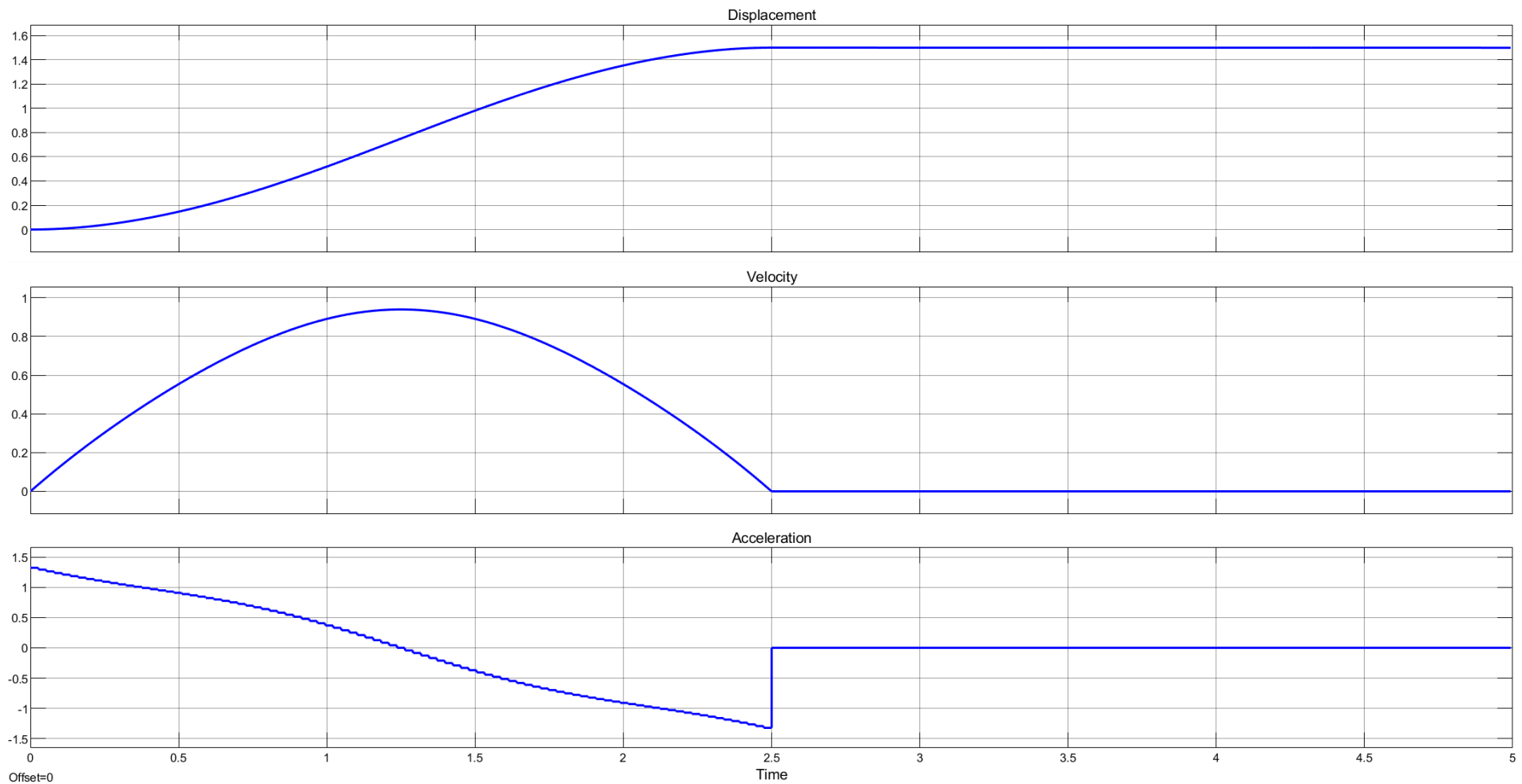
Legge di moto con energia residua minore di  $10^{-32}$

Valore assoluto della velocità finale minore di  $10^{-6}$

# PENDOLO SEMPLICE: MODELLAZIONE TRAMITE SIMULINK

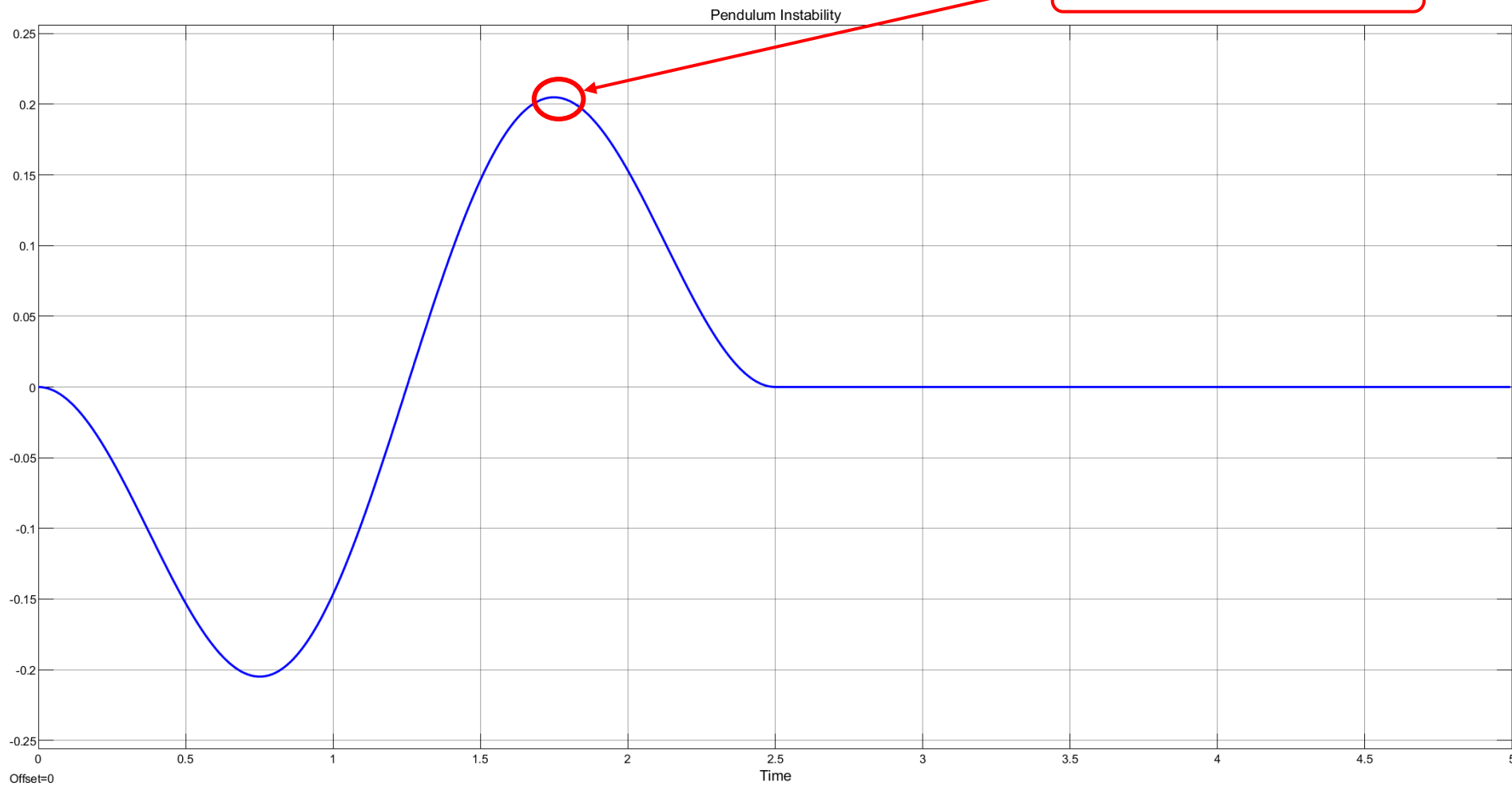


# PENDOLO SEMPLICE: LEGGE DEL MOTO





## PENDOLO SEMPLICE: SPOSTAMENTO ANGOLARE



# VARIAZIONE PARAMETRI SIGNIFICATIVI

Variazione Tempo di azionamento  $t_f$

Variando  $t_f$  si valuta il comportamento dell'ampiezza delle oscillazioni del pendolo, con  $E_{res} < 10^{-16}$ .

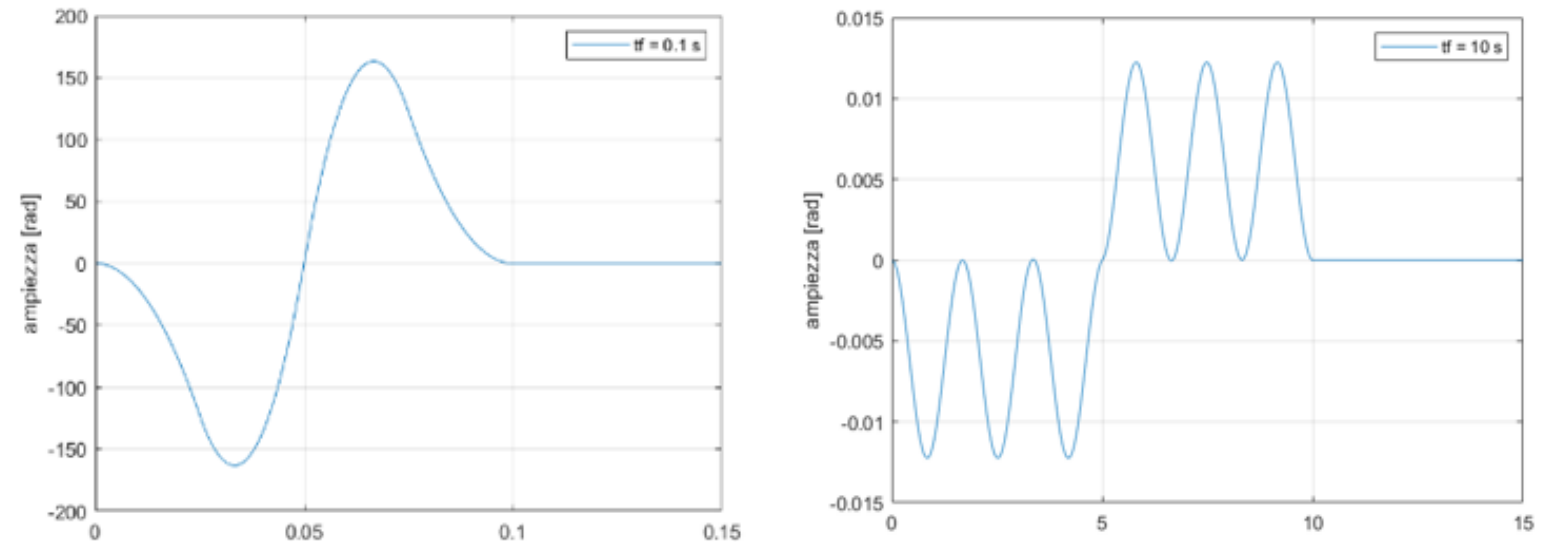


Figura 19 Confronto al variare del tempo di azionamento

# VARIAZIONE PARAMETRI SIGNIFICATIVI

Variazione lunghezza del pendolo L

Variando L senza tener conto dell'energia residua si analizza la seguente funzione:

$$x(t) = \frac{FF}{K1} (1 - \cos(\omega_n t))$$

Con  $FF = -\frac{1}{L}$  e  $K1 = \frac{g}{L}$ .

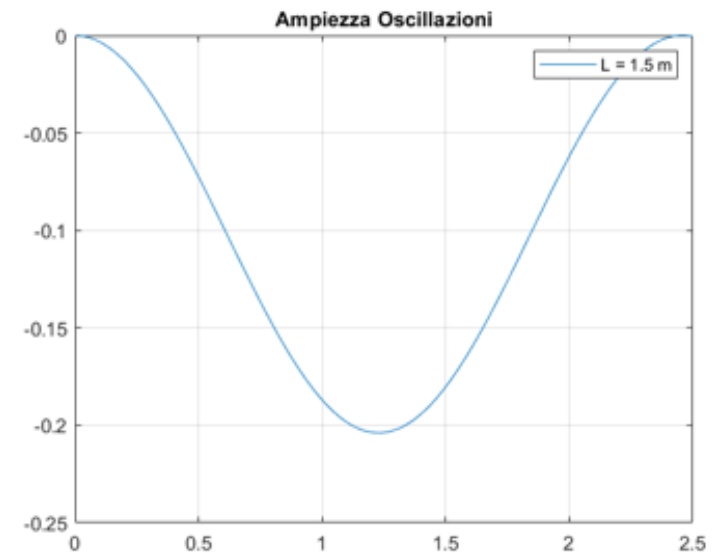
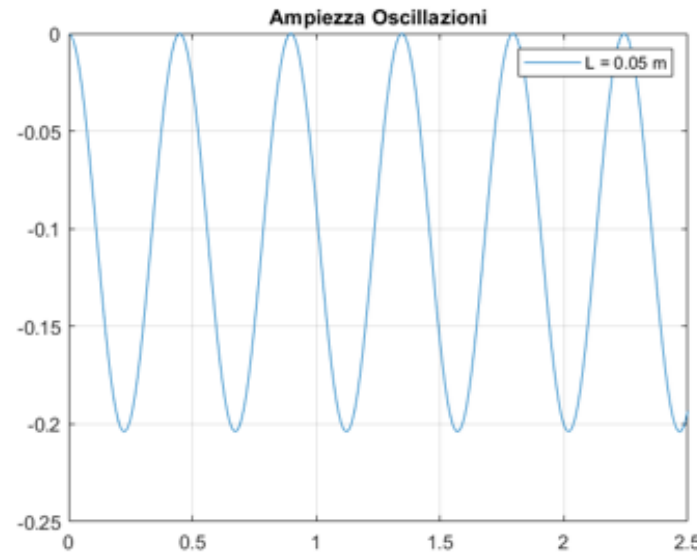


Figura 20 Confronto al varare della lunghezza del pendolo

# VARIAZIONE PARAMETRI SIGNIFICATIVI

Variazione lunghezza del pendolo  $L$

Implementando la limitazione sull'energia residua, il comportamento delle oscillazioni non varia come un coseno.

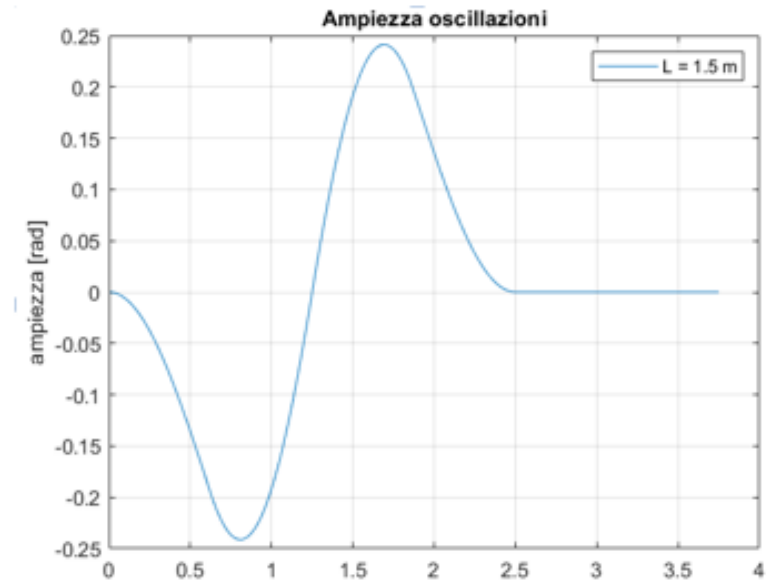
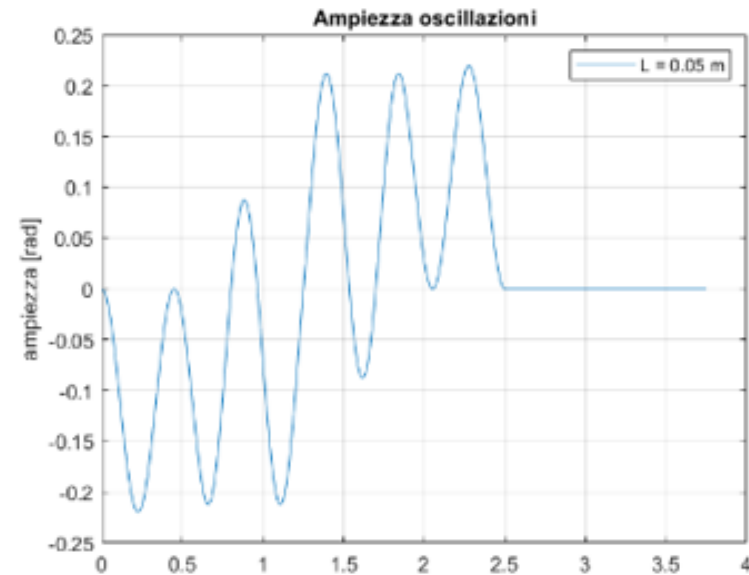


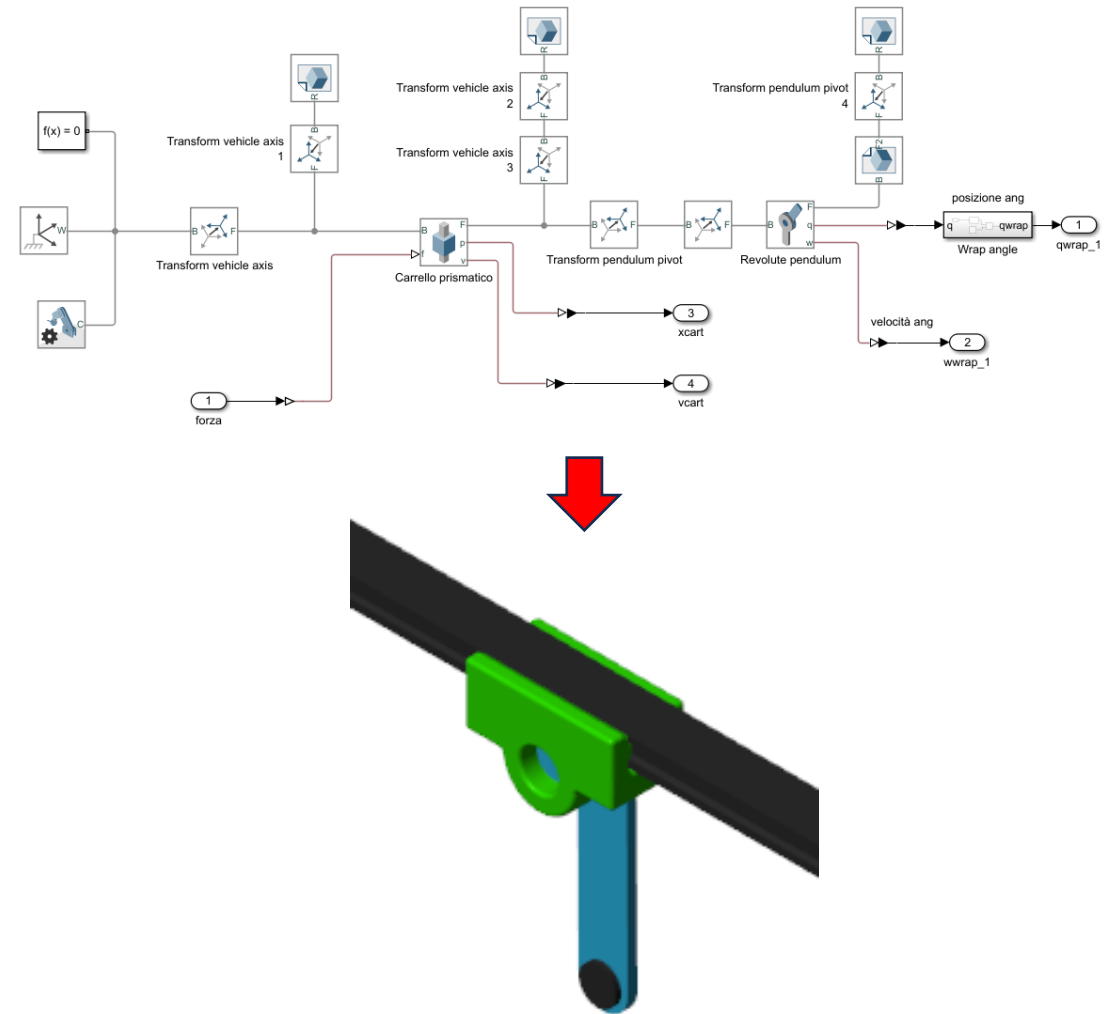
Figura 21 Confronto sulla lunghezza con implementazione del controllo sull'energia residua

# MODELLO SIMSCAPE DEL PENDOLO SEMPLICE

È un modello di simulazione avanzato → analisi multibody

Studio del pendolo semplice collegato a un carrello traslante avente massa definita.

Questa rappresentazione visiva consentirà una comprensione più approfondita del sistema.



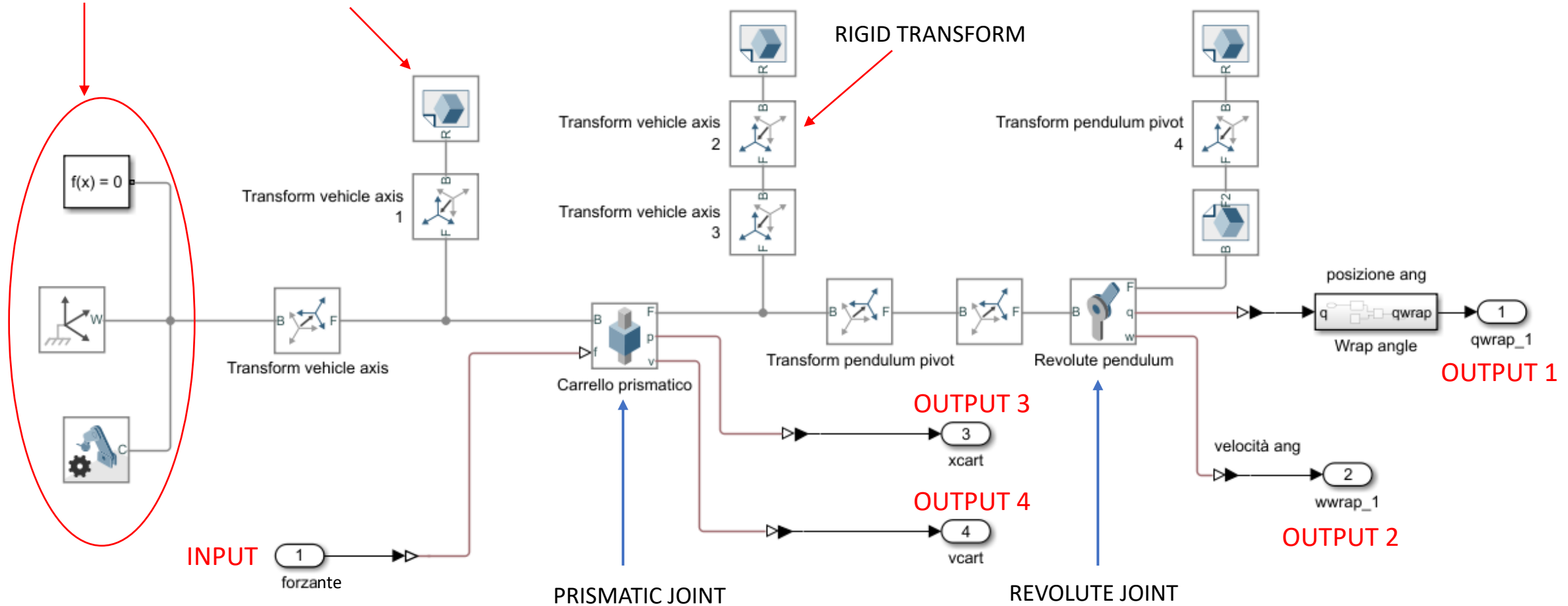
# SCHEMA A BLOCCHI

## *Subsystem Simscape*

SYSTEM CONFIGURATION

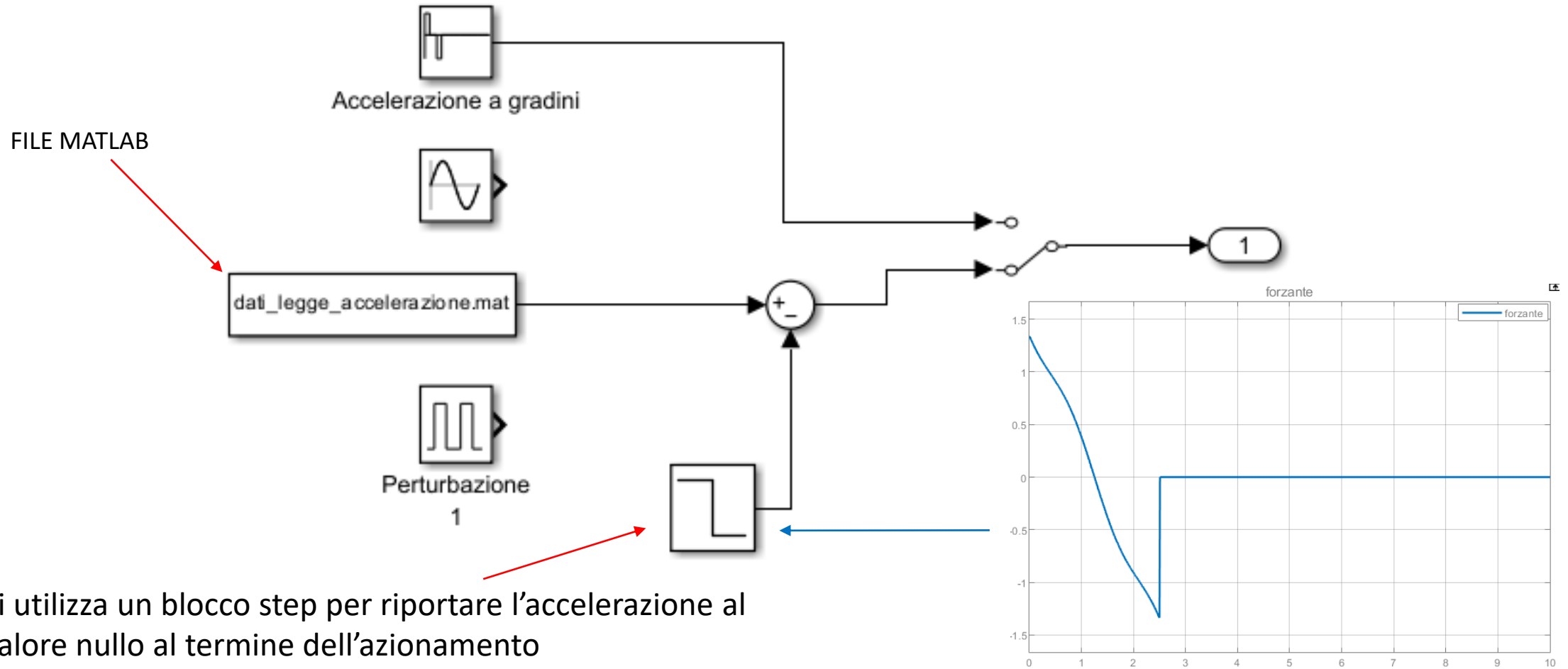
FILE SOLID

RIGID TRANSFORM



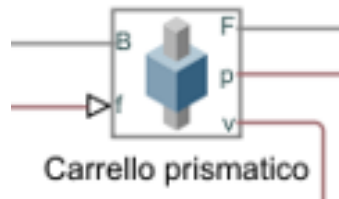
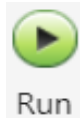
# SCHEMA A BLOCCHI

## *Forzante input*



# SCHEMA A BLOCCHI

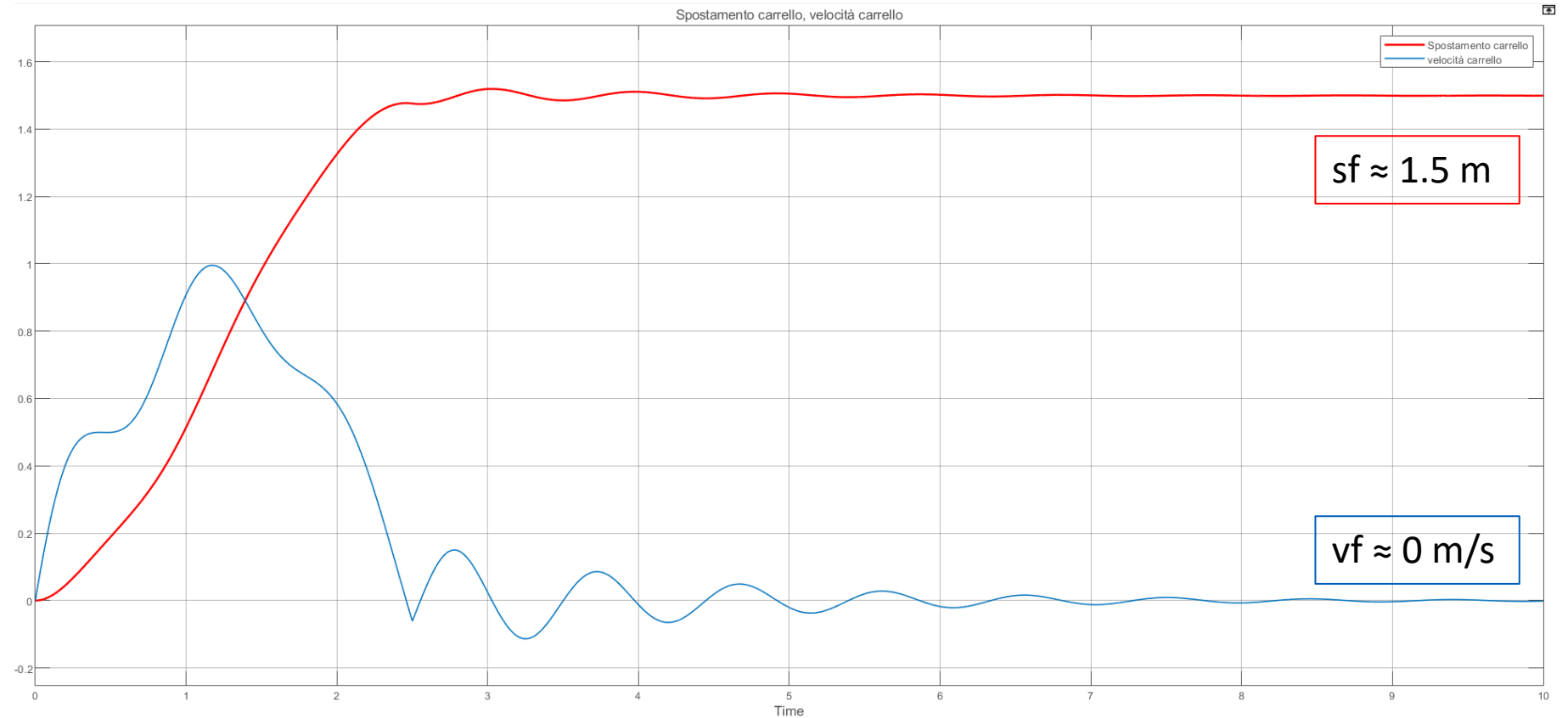
*Output spostamento e velocità del carrello*



**OUTPUT 3**



**OUTPUT 4**



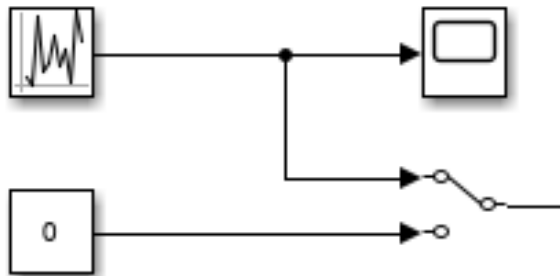


## SCHEMA A BLOCCHI

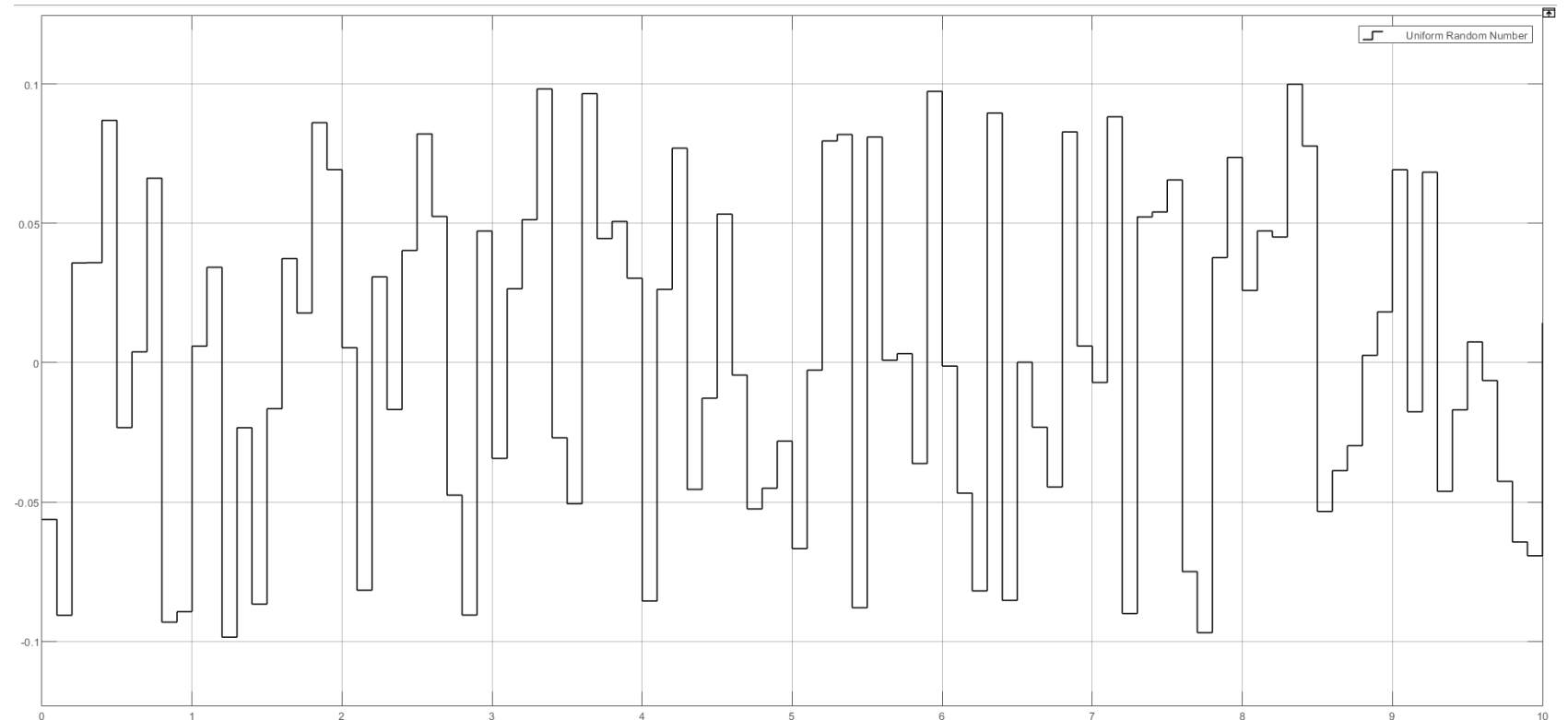
*Output spostamento e velocità del carrello*

*Disturbi attivi*

disturbi



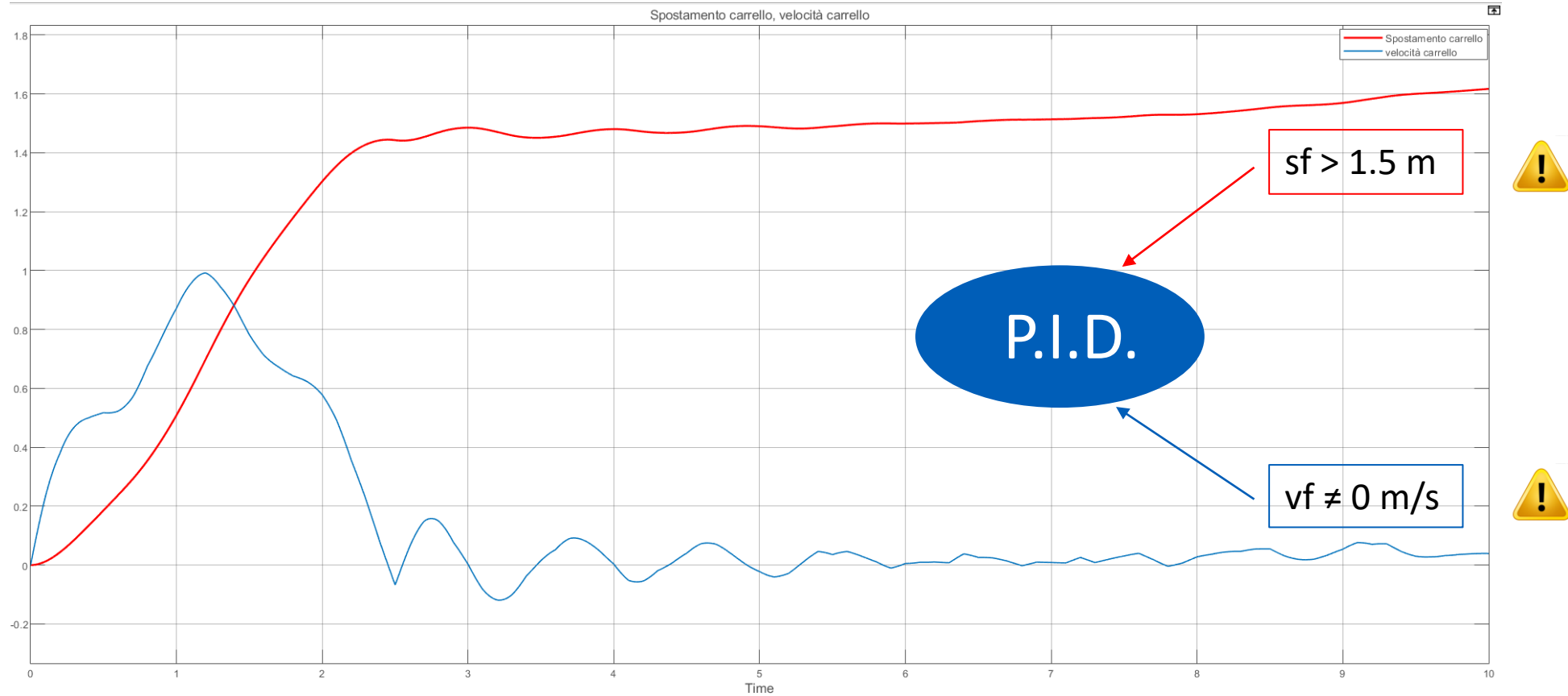
I disturbi sono stati inseriti  
come rumore casuale con  
ampiezza compresa tra  
 $\pm 0.1 \text{ m/s}^2$



# SCHEMA A BLOCCHI

*Output spostamento e velocità del carrello*

*Disturbi attivi*



# CALCOLI PARAMETRI PID

## Metodo Ziegler-Nicols

Control Type	$K_p$	$T_i$	$T_d$	$K_i$	$K_d$
P	$0.5K_u$	–	–	–	–
PI	$0.45K_u$	$0.83\bar{T}_u$	–	$0.54K_u/T_u$	–
PD	$0.8K_u$	–	$0.125T_u$	–	$0.10K_u T_u$
classic PID <sup>[2]</sup>	$0.6K_u$	$0.5T_u$	$0.125T_u$	$1.2K_u/T_u$	$0.075K_u T_u$



CALCOLI ZIEGLER-NICHOLS PER PID PENDOLO SEMPLICE CON CARRELLO

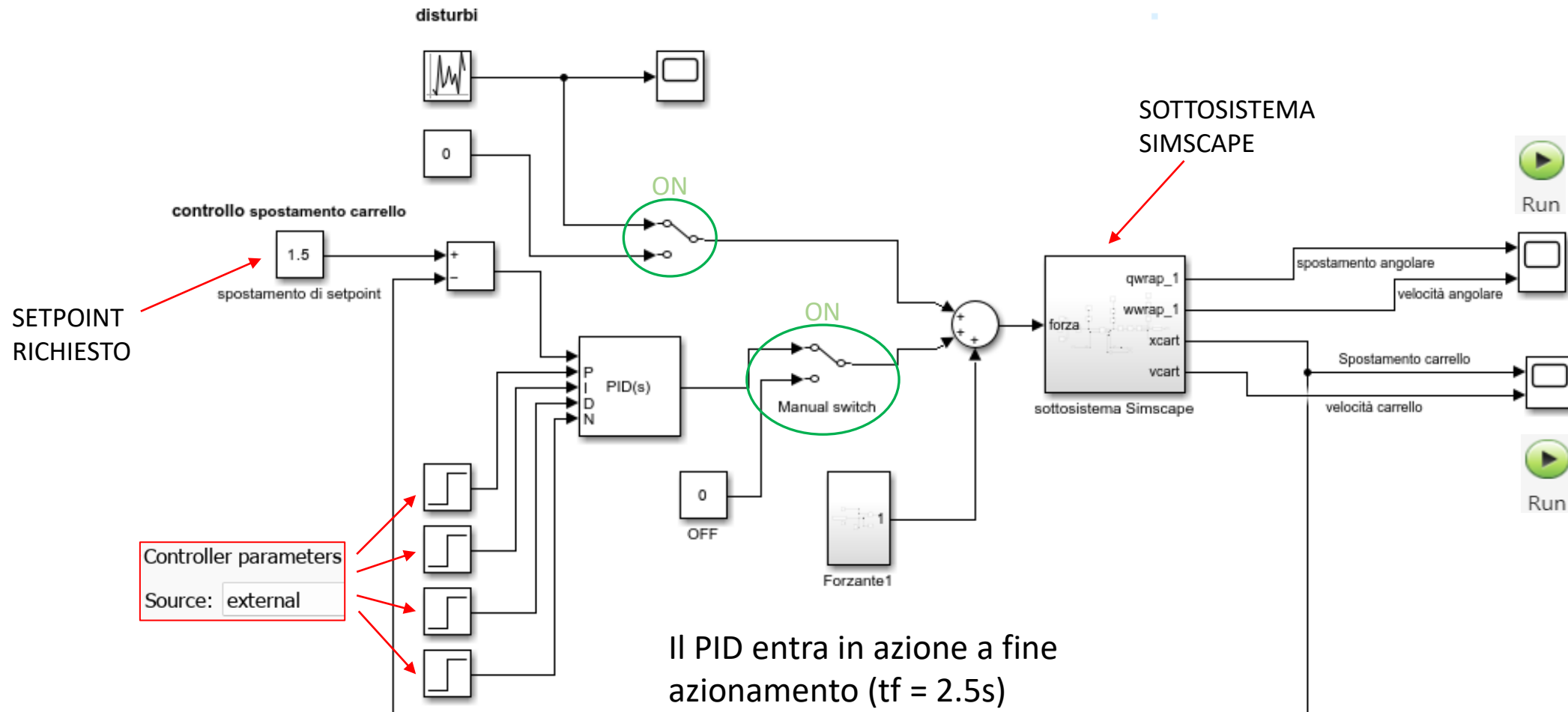
	Periodo $T_u$	9,5			
	$K_u$	5			
		$K_p$	$T_i$	$T_d$	$K_i$
	P	2,5			
	PI	2,25	4		0,284211
	PD	4	2,5	1,1875	
	classic PID	3	2,5	1,1875	0,631579
					4,75
					3,5625

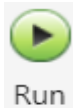
Successivamente sono state inserite le costanti  $K_p$ ,  $K_i$  e  $K_d$  del PID in Simulink



# SCHEMA A BLOCCHI

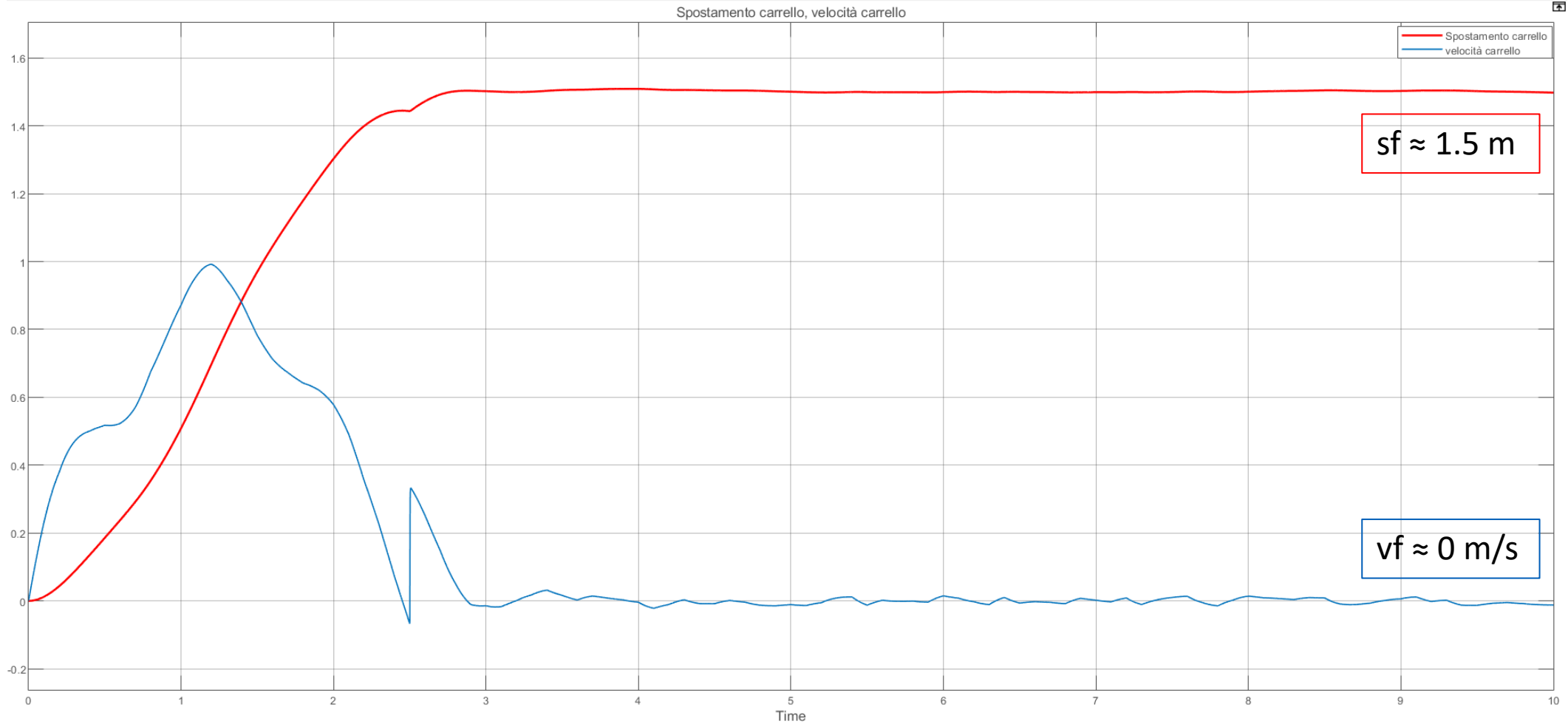
## *Schema Simulink con **PID attivo***

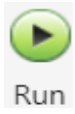




## SCHEMA A BLOCCHI

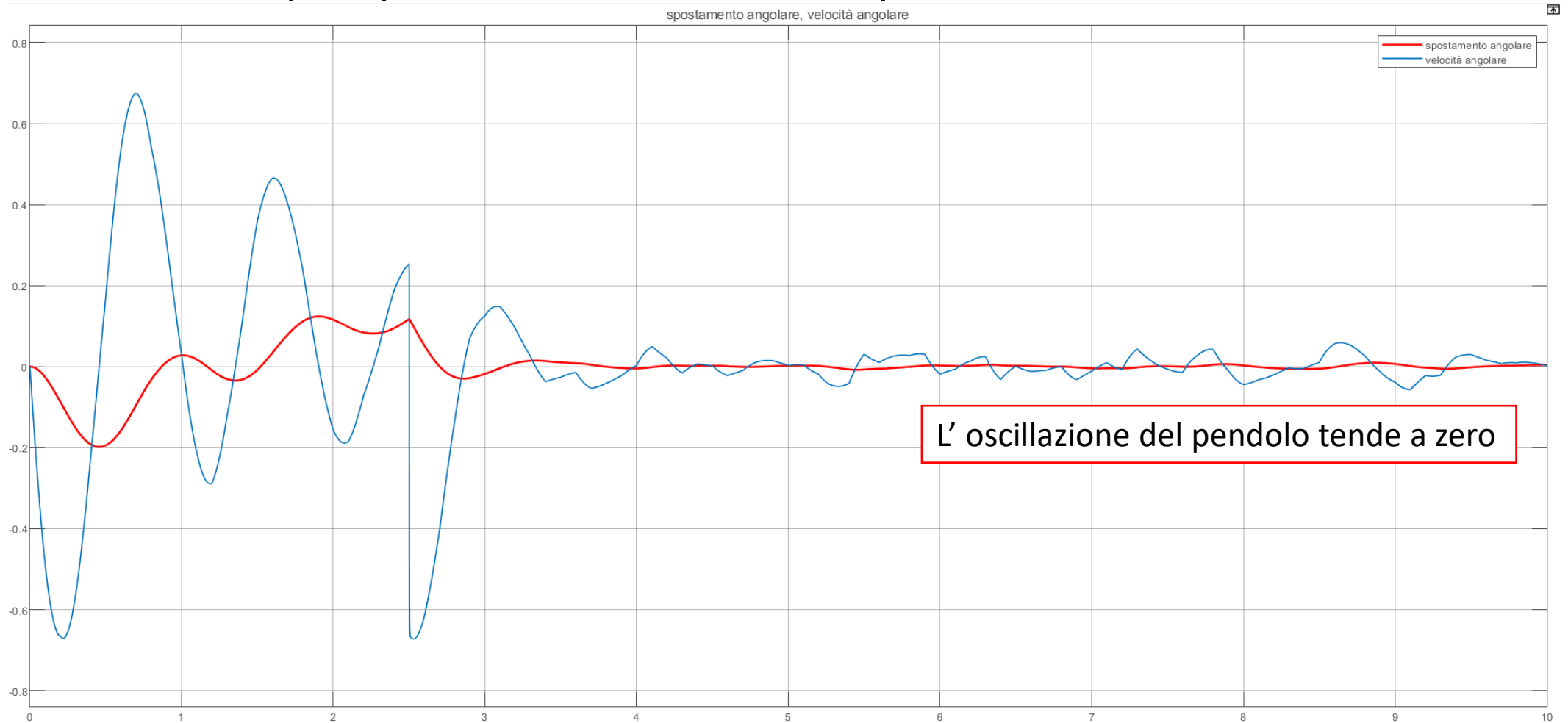
*Output spostamento e velocità del carrello con **PID attivo***





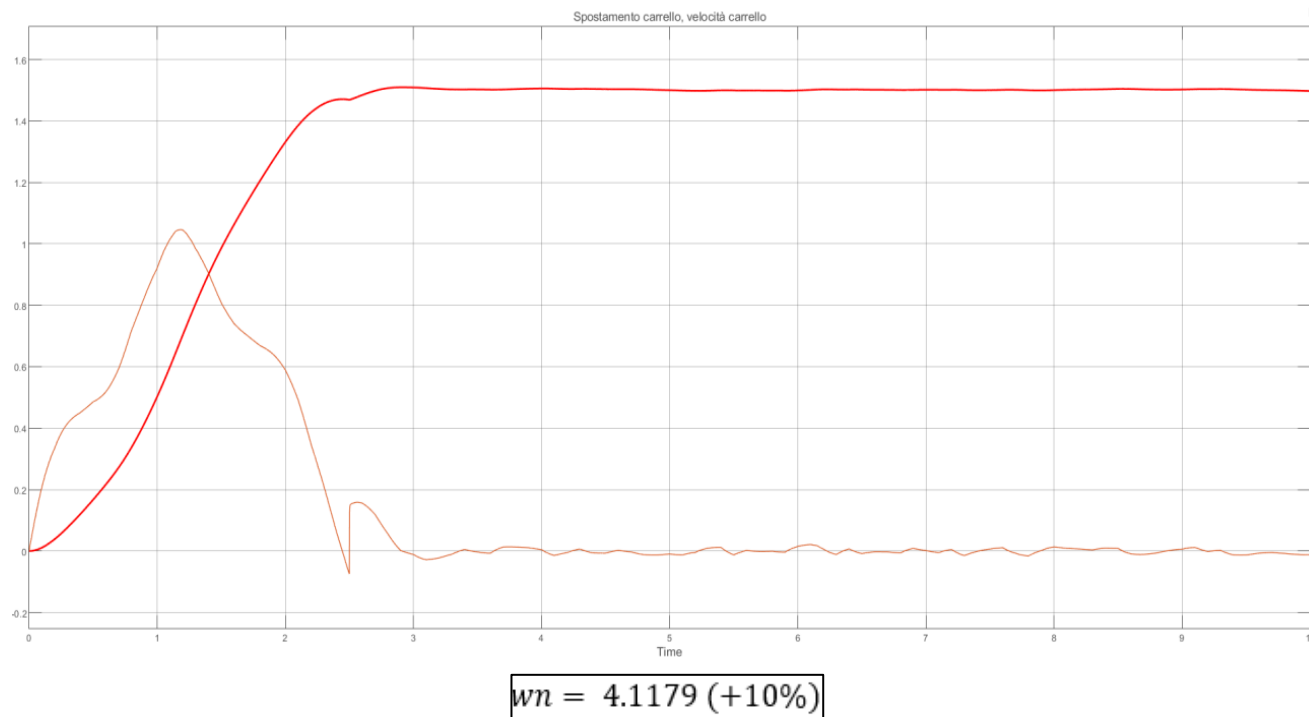
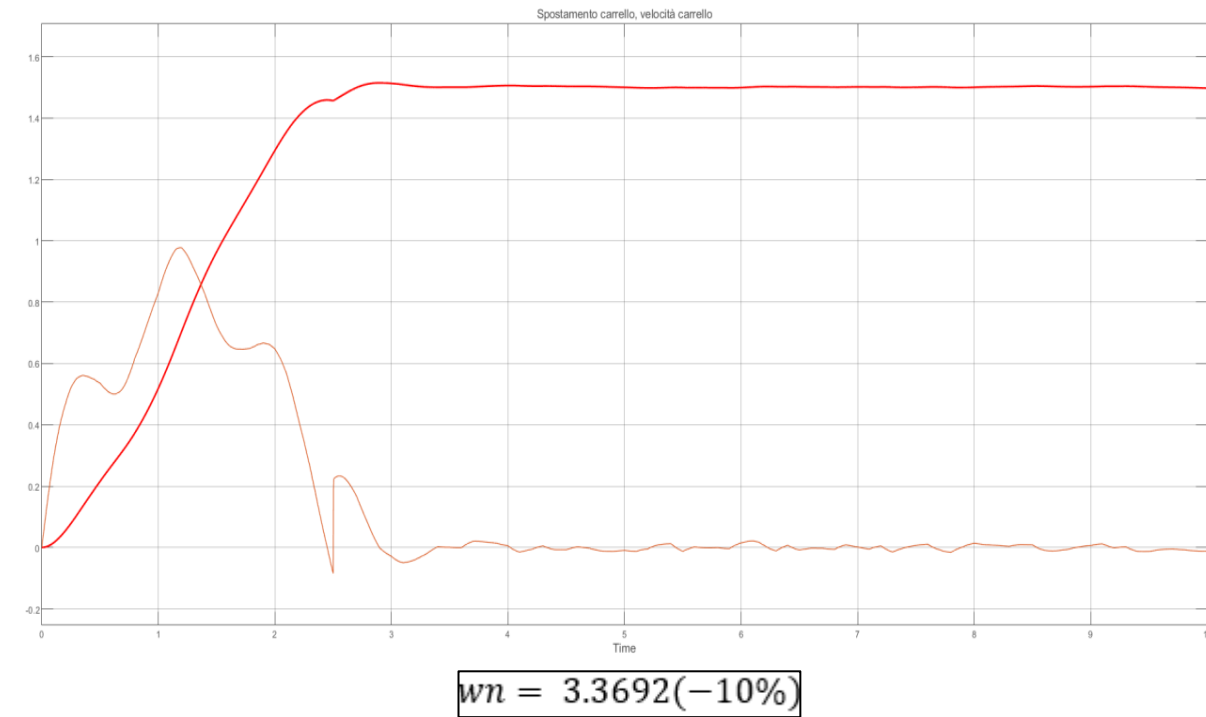
## SCHEMA A BLOCCHI

*Output spostamento e velocità del pendolo con **PID attivo***



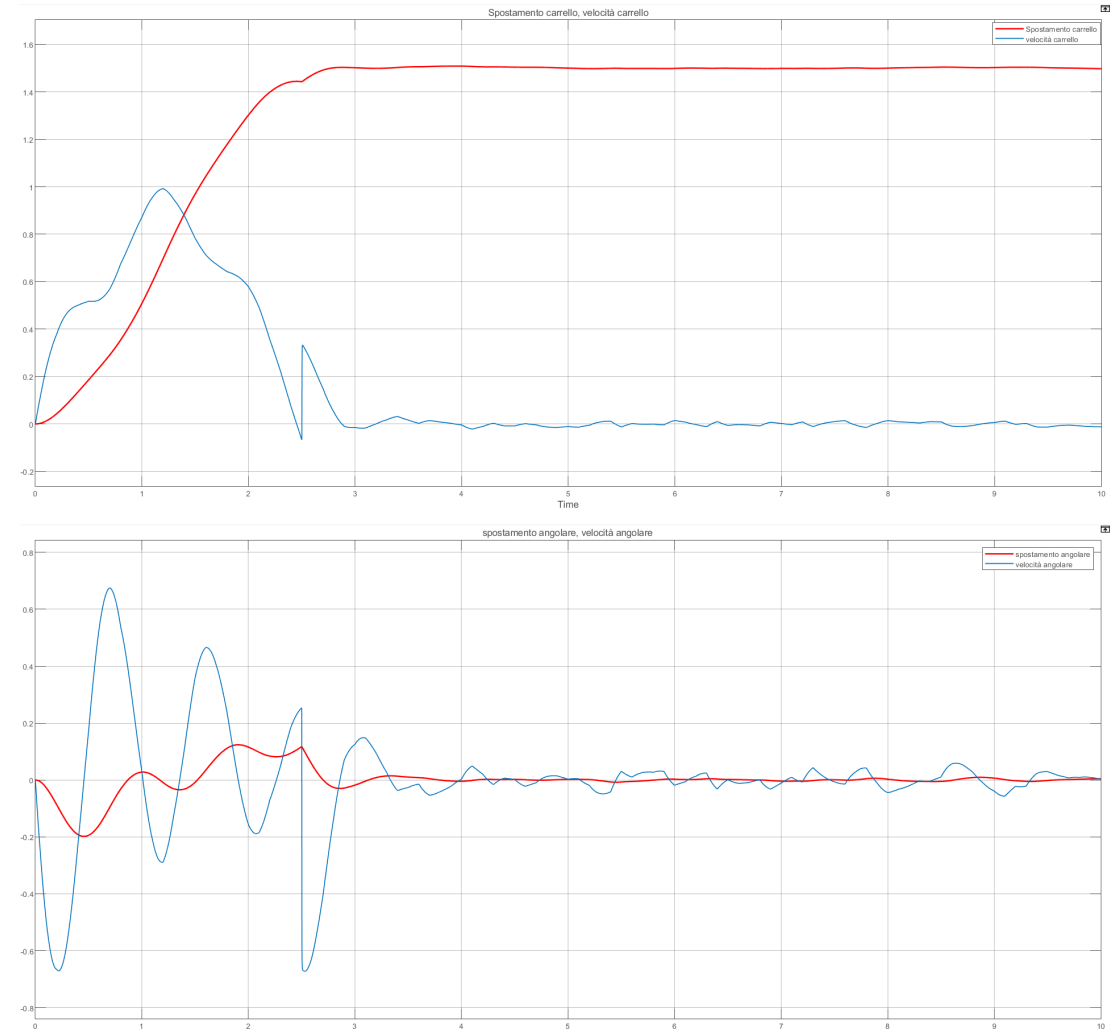
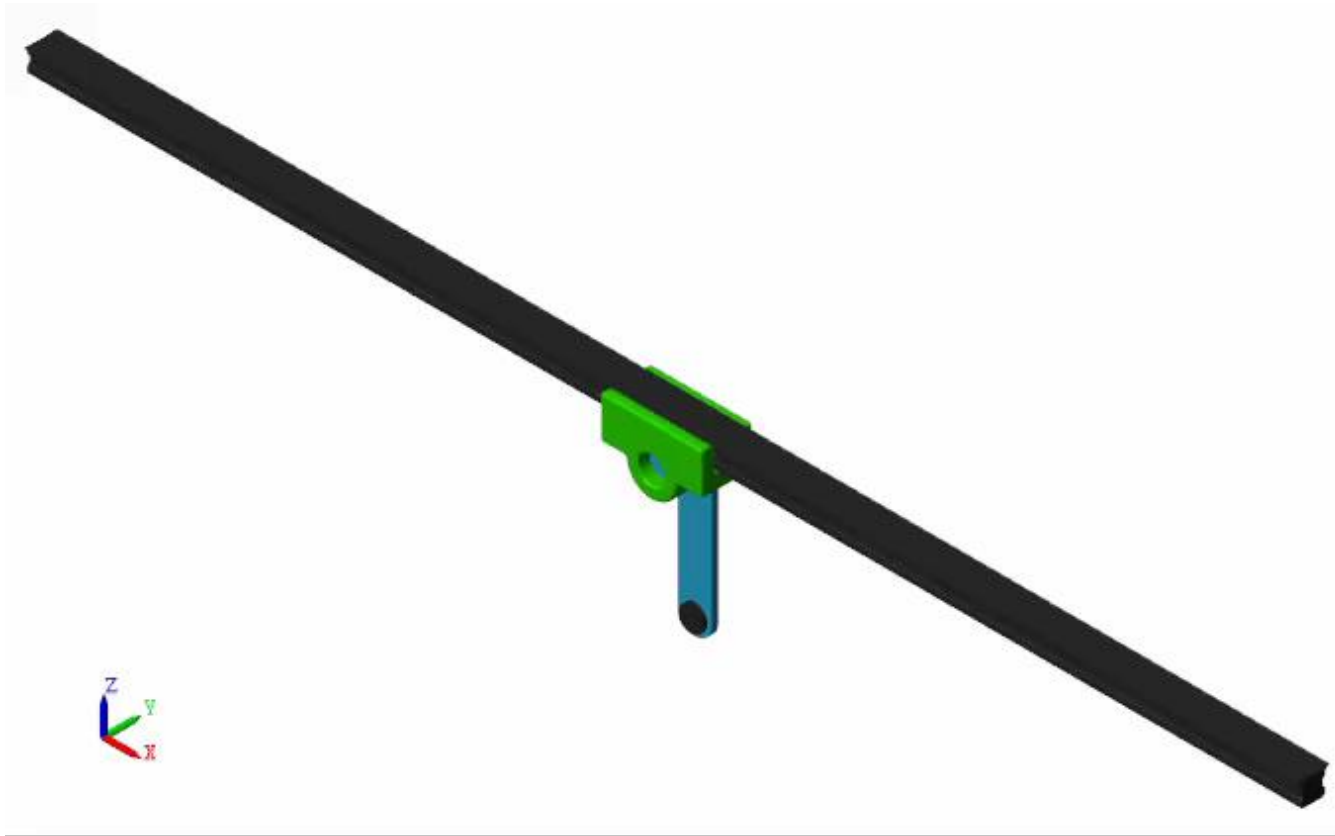
# PENDOLO SEMPLICE: errori di modellazione del sistema con PID attivo

La pulsazione propria del sistema non risulta essere quella calcolata in precedenza ma presenta un'incertezza del  $\pm 10\%$ .



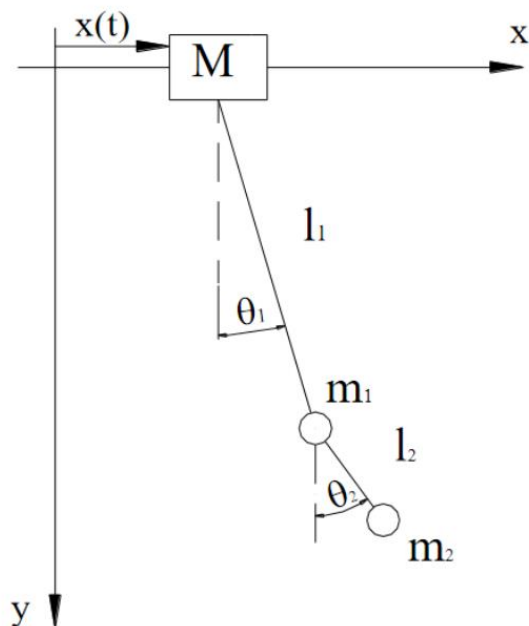
**Il controllo risulta stabile anche in presenza di piccole incertezze sulla pulsazione propria del sistema.**

# SIMULAZIONE MULTIBODY 'MECHANICS EXPLORERS'





## DOPPIO PENDOLO



Massa 1	0.2 Kg
Massa 2	0.5 Kg
Lunghezza 1	1.05 m
Lunghezza 2	0.35 m
Accelerazione di gravità	$9.81 \frac{m}{s^2}$
Spostamento richiesto	1.5 m
Tempo di fine azionamento	2.7 s

Dalle seguenti equazioni  $(m_1 + m_2)l_1^2\ddot{\theta}_1 + (m_1 + m_2)l_1\ddot{x} + m_2l_1l_2\ddot{\theta}_2 + (m_1 + m_2)gl_1\theta_1 = 0$

$$m_2l_2^2\ddot{\theta}_2 + m_2l_2\ddot{x} + m_2l_1l_2\ddot{\theta}_1 + m_2gl_2\theta_2 = 0$$

è possibile ricavare le leggi di moto sia in forma analitica, sia attraverso un software di calcolo:

$$\ddot{\theta}_1 = -\frac{m_1\ddot{x} + g(m_1\theta_1 + m_2\theta_1 - m_2\theta_2)}{l_1m_1} \quad \ddot{\theta}_2 = \frac{g(m_1 + m_2)(\theta_1 - \theta_2)}{l_2m_1}$$

# PENDOLO DOPPIO: EQUAZIONE DEL MOTO

```
syms m1 m2 l1 l2 theta2ddot theta1ddot theta2 theta1 g xddot
```

```
M=([(m1+m2)*l1^2,m2*l1*l2;m2*l1*l2,m2*l2^2]); %matrice delle masse
```

```
thetaddot=[theta1ddot;theta2ddot]; %matrice delle derivate seconde di  
theta1,theta2
```

```
G=[(m1+m2)*g*l1,0;0,m2*g*l2]; %matrice della rigidezza
```

```
theta=[theta1;theta2]; %matrice dello spostamento angolare theta1,theta2
```

```
F=[-(m1+m2)*l1;-m2*l2])*xddot; %matrice della forzante
```

```
eqn= M*thetaddot==(F-G*theta); %EQUAZIONE DEL MOTO
```

```
C=solve(eqn,thetaddot);
```

C.theta1ddot

val =

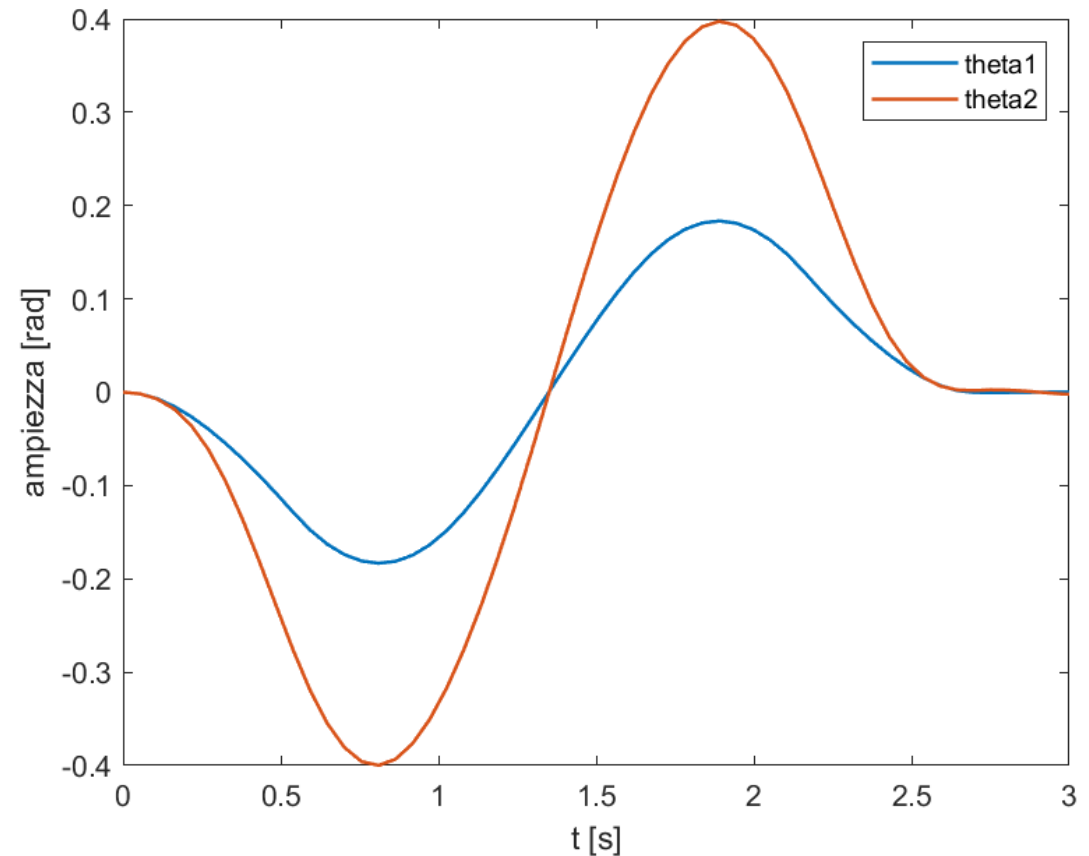
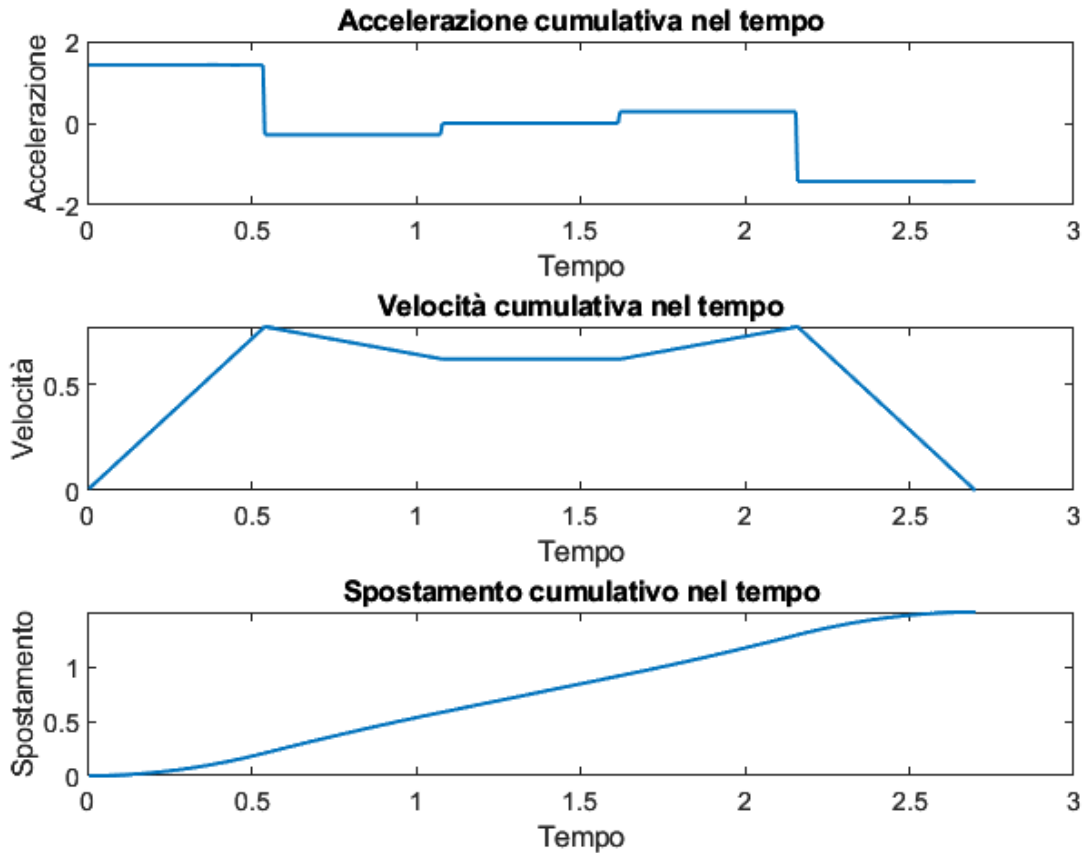
$-(m1*xddot + g*m1*theta1 + g*m2*theta1 - g*m2*theta2)/(l1*m1)$

C.theta2ddot

val =

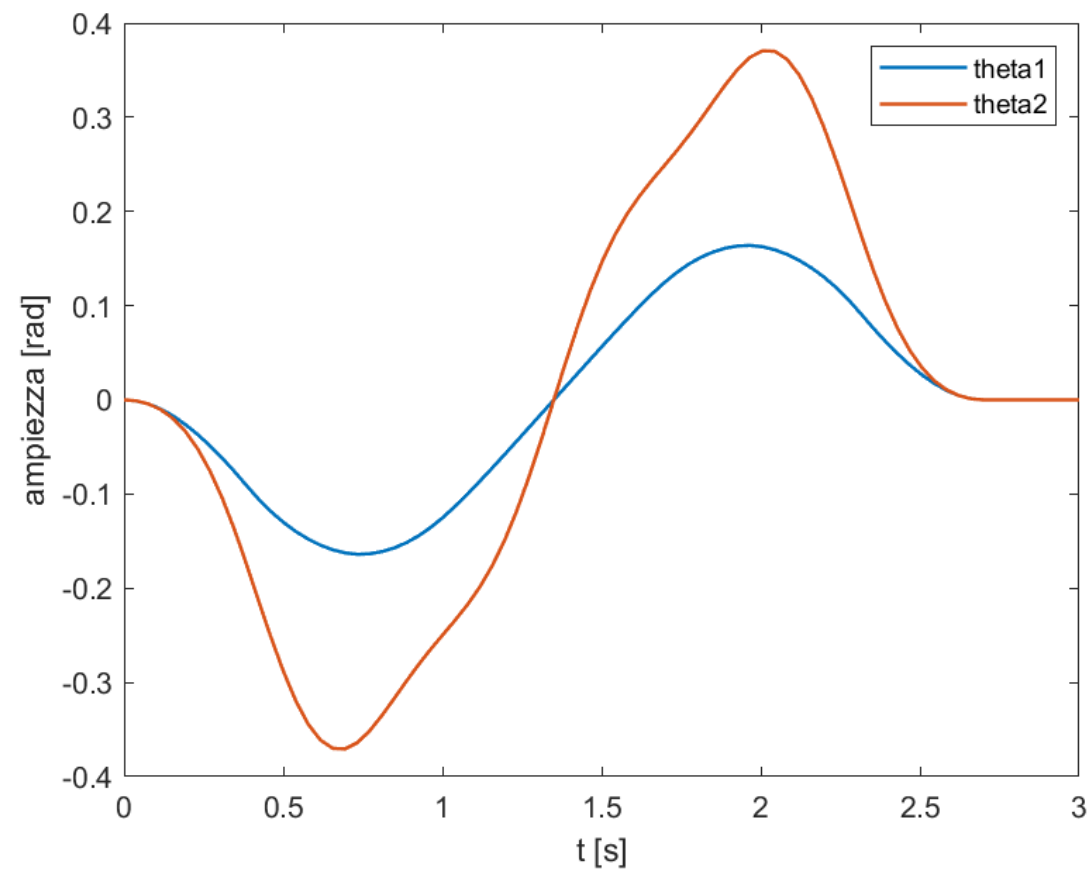
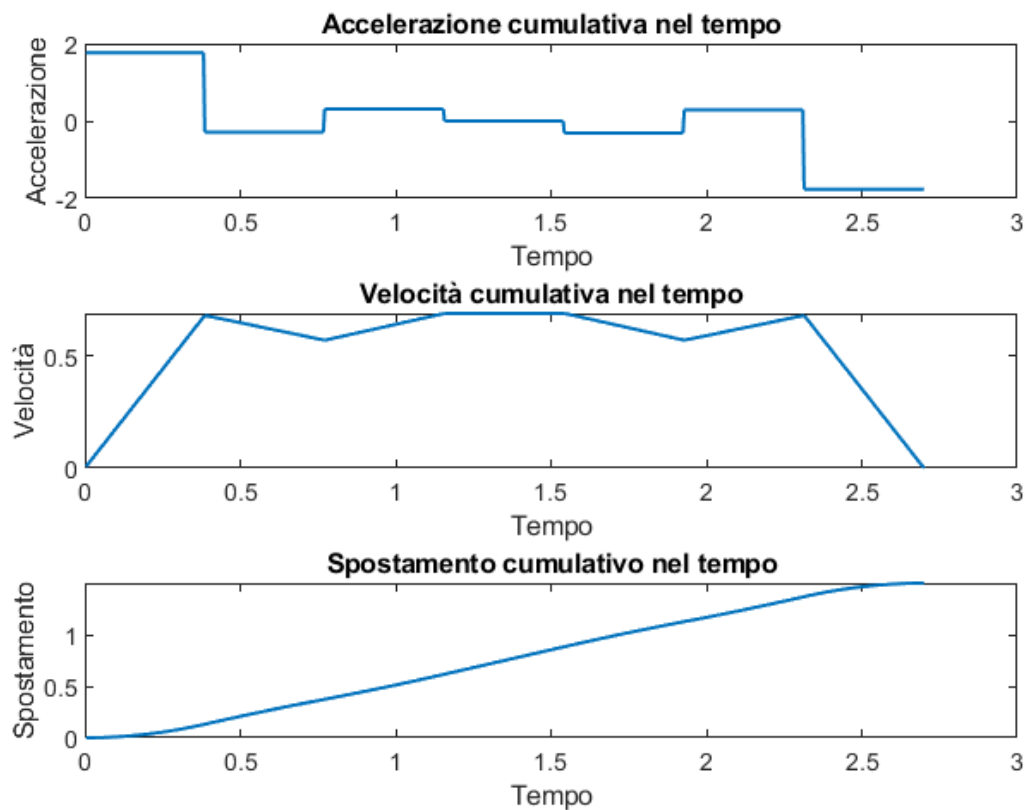
$((m1 + m2)*(g*theta1 - g*theta2))/(l2*m1)$

# ACCELERAZIONE – VELOCITÀ – SPOSTAMENTO



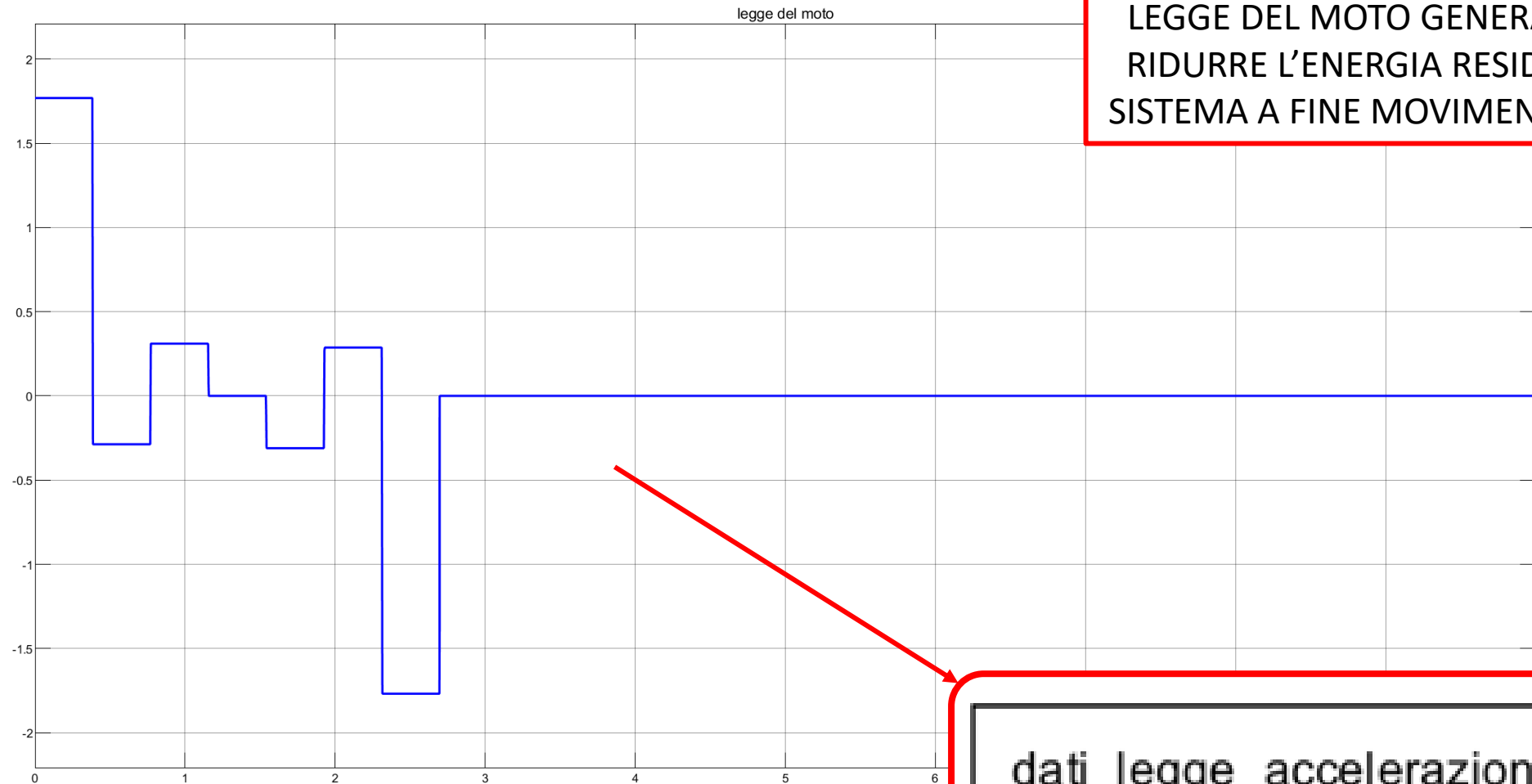
Legge di moto con energia residua minore di  $10^{-4}$   
Valore assoluto della velocità finale minore di  $10^{-6}$

# ACCELERAZIONE – VELOCITÀ – SPOSTAMENTO



Legge di moto con energia residua minore di  $10^{-29}$   
Valore assoluto della velocità finale minore di  $10^{-6}$

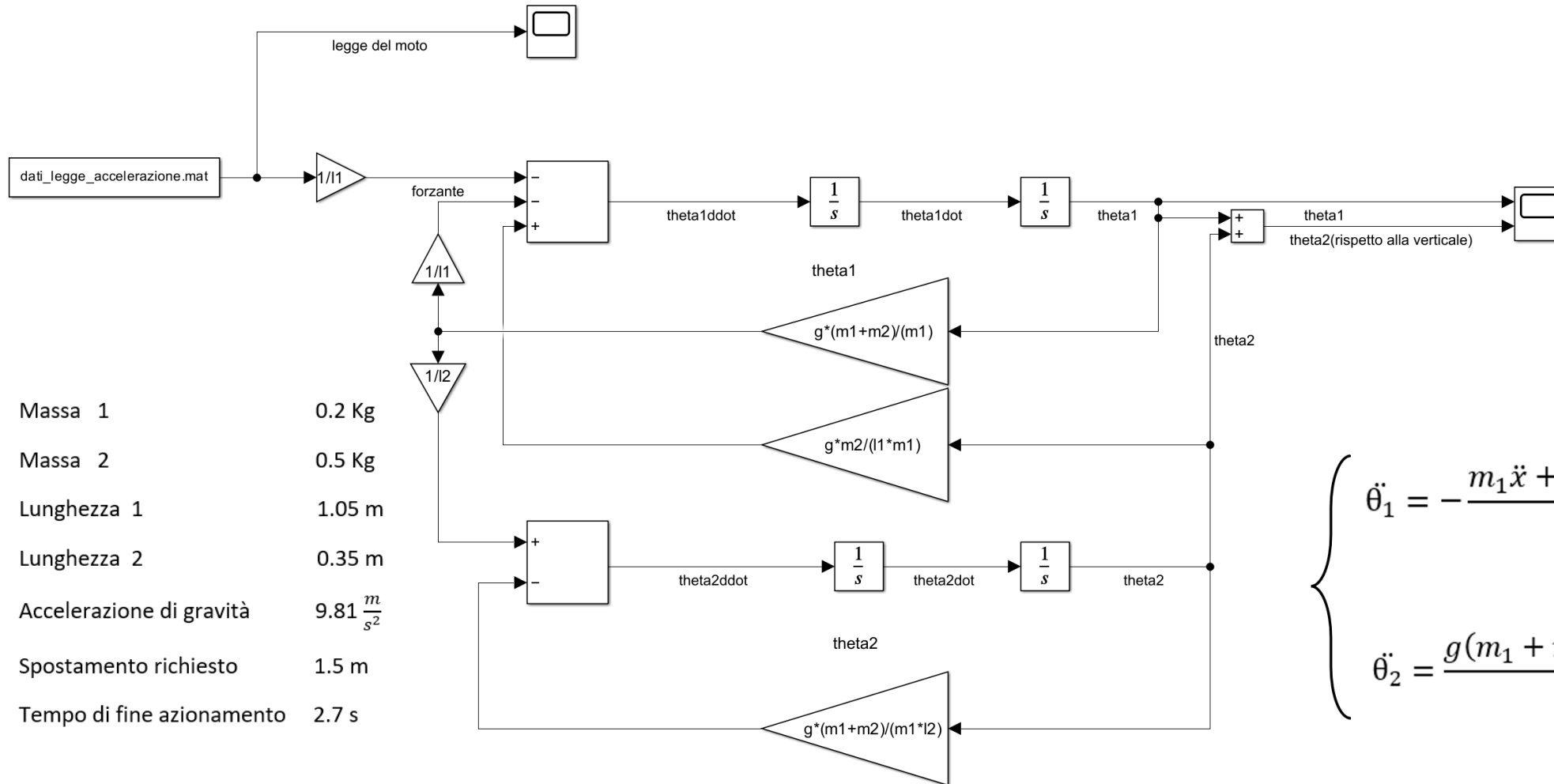
## PENDOLO DOPPIO: LEGGE DEL MOTO, AZIONAMENTO $t=10$ s



LEGGE DEL MOTO GENERATA PER  
RIDURRE L'ENERGIA RESIDUA DEL  
SISTEMA A FINE MOVIMENTAZIONE

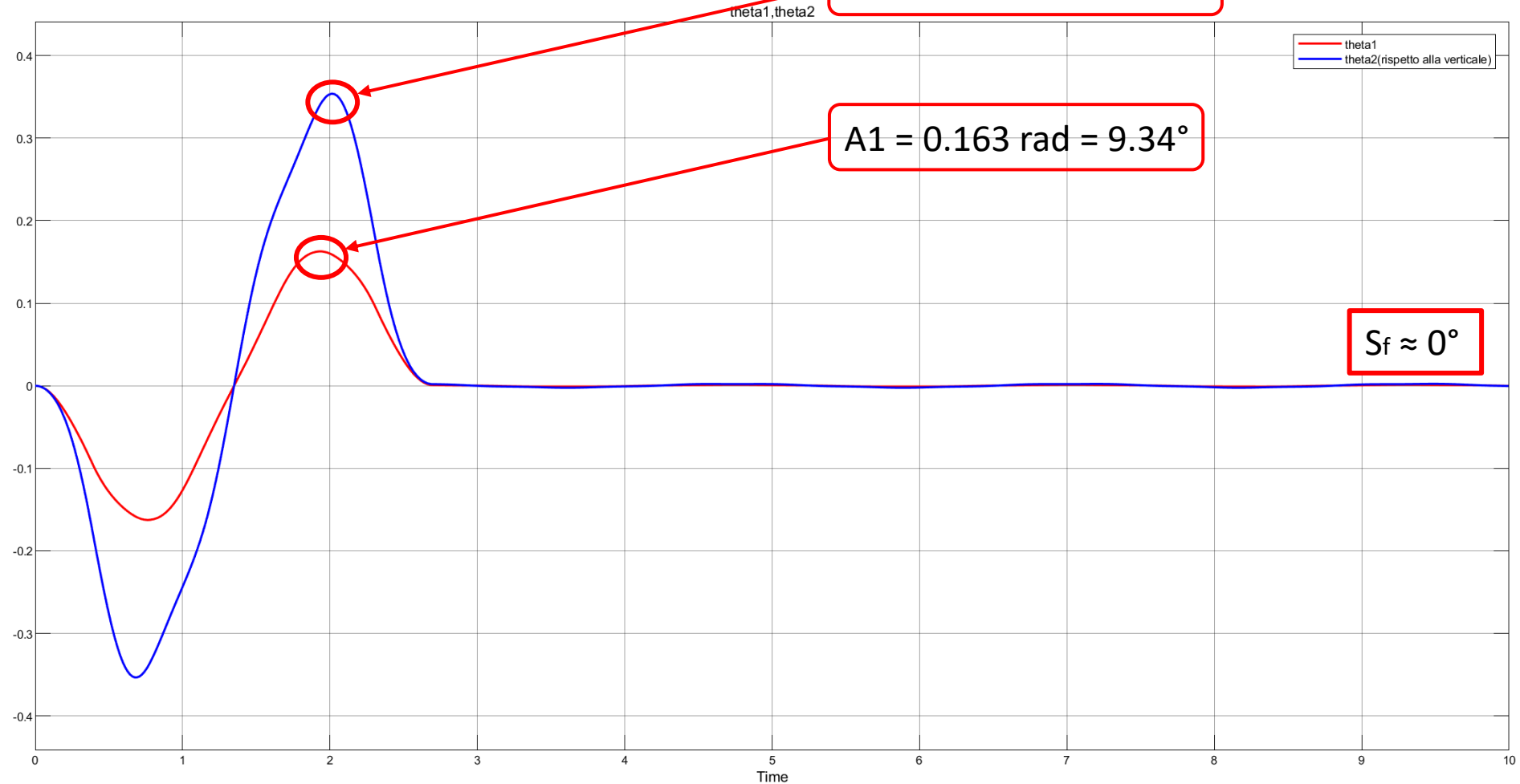
`dati_legge_accelerazione.mat`

# PENDOLO DOPPIO: MODELLAZIONE TRAMITE SIMULINK

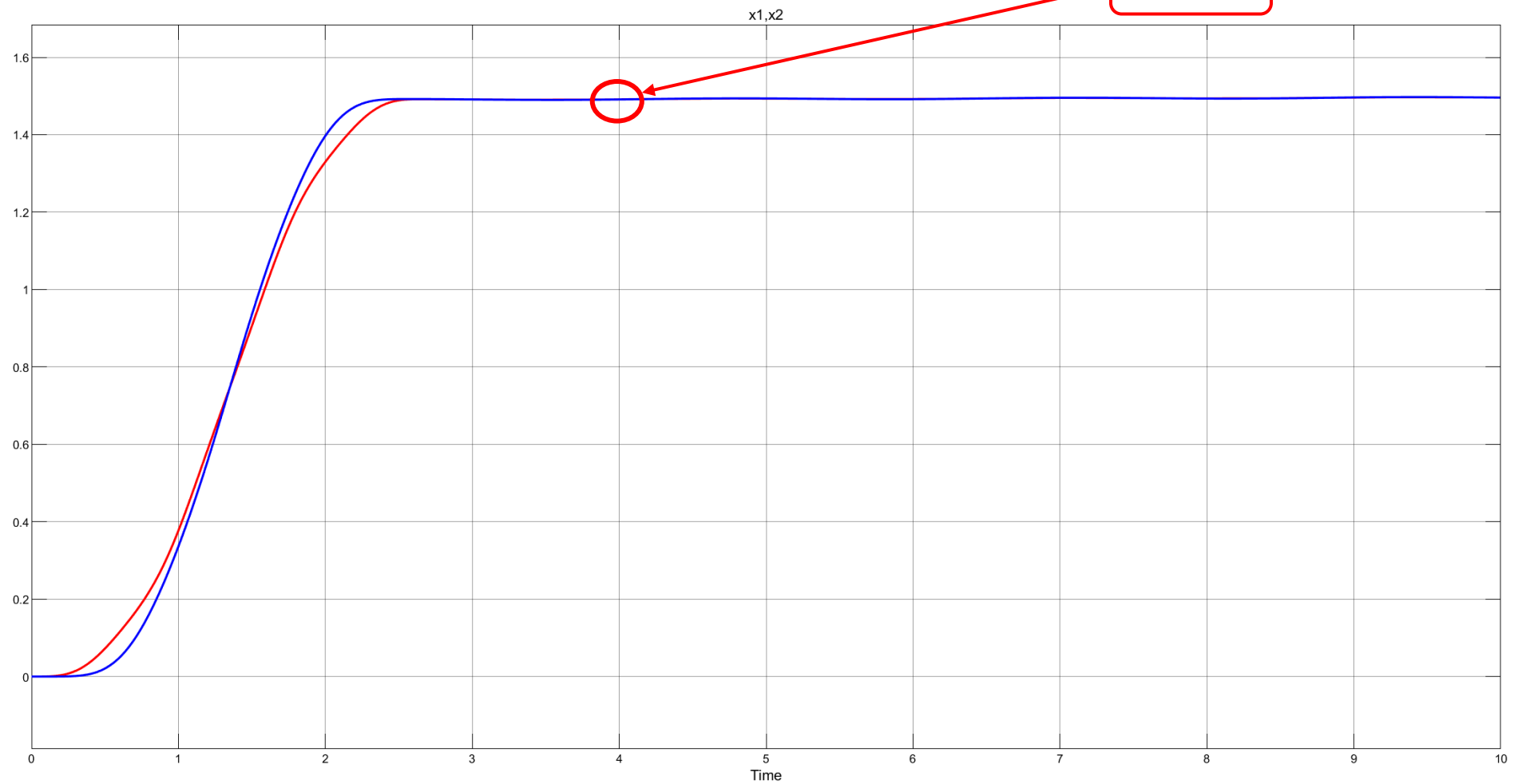


$$\begin{cases} \ddot{\theta}_1 = -\frac{m_1 \ddot{x} + g(m_1 \theta_1 + m_2 \theta_1 - m_2 \theta_2)}{l_1 m_1} \\ \ddot{\theta}_2 = \frac{g(m_1 + m_2)(\theta_1 - \theta_2)}{l_2 m_1} \end{cases}$$

## PENDOLO DOPPIO: SPOSTAMENTO ANGOLARE



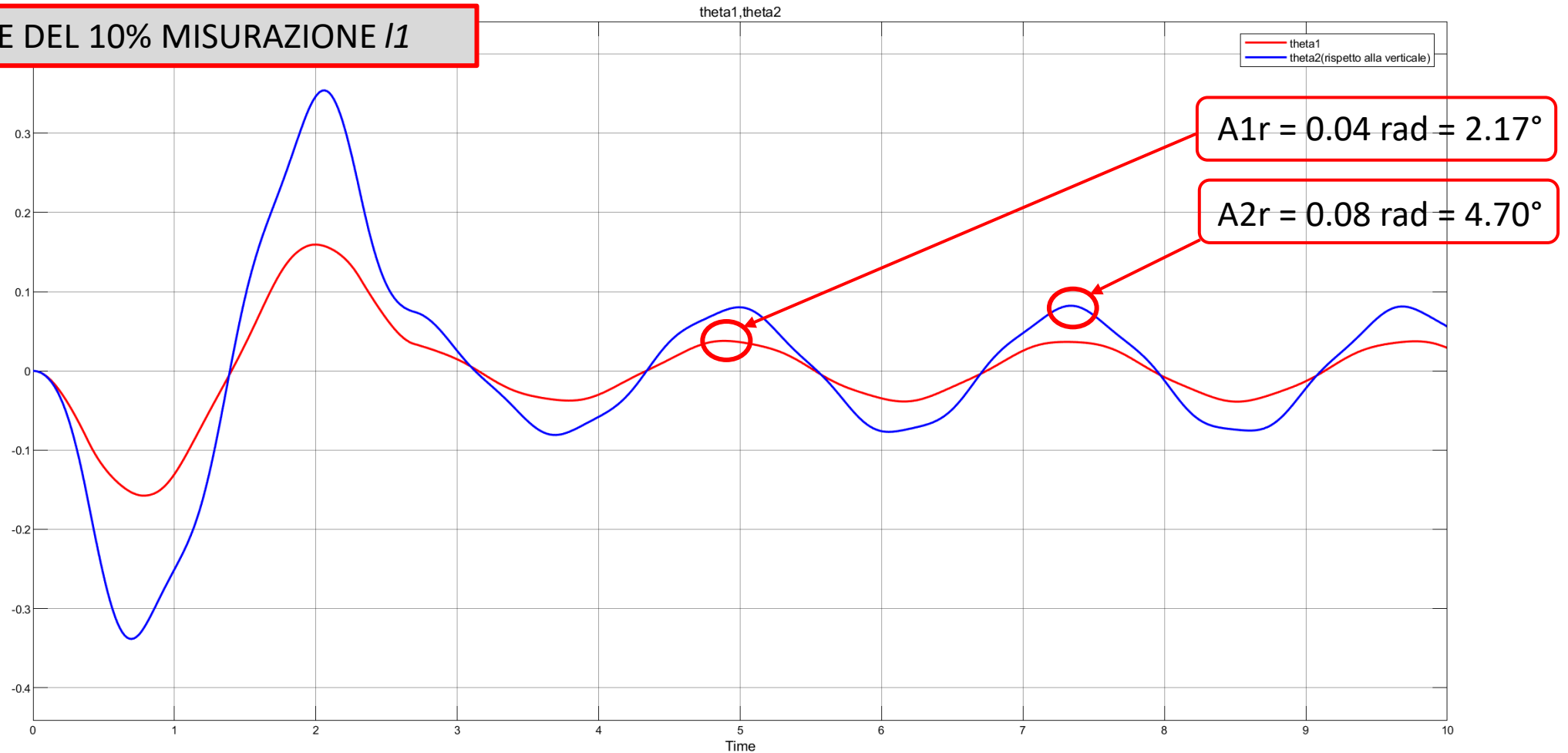
## PENDOLO DOPPIO: SPOSTAMENTO LINEARE





# PENDOLO DOPPIO: ERRORI DI MODELLAZIONE

ERRORE DEL 10% MISURAZIONE /1



## PENDOLO DOPPIO: ERRORI DI MODELLAZIONE

ERRORE DEL 10% MISURAZIONE  $l_1$

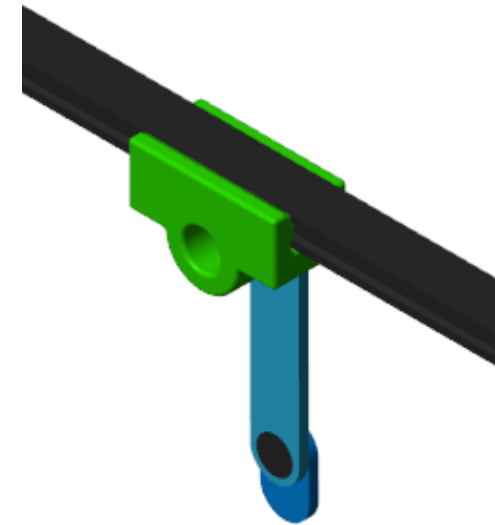
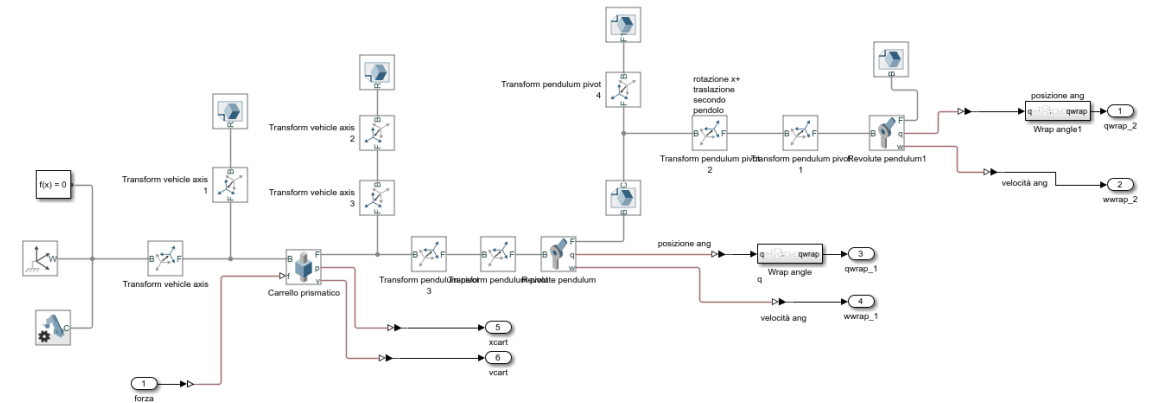


# MODELLO SIMSCAPE DEL PENDOLO DOPPIO

È un modello di simulazione avanzato → analisi multibody

Studio del pendolo doppio collegato a un carrello traslante avente massa definita.

Questa rappresentazione visiva consentirà una comprensione più approfondita del sistema.

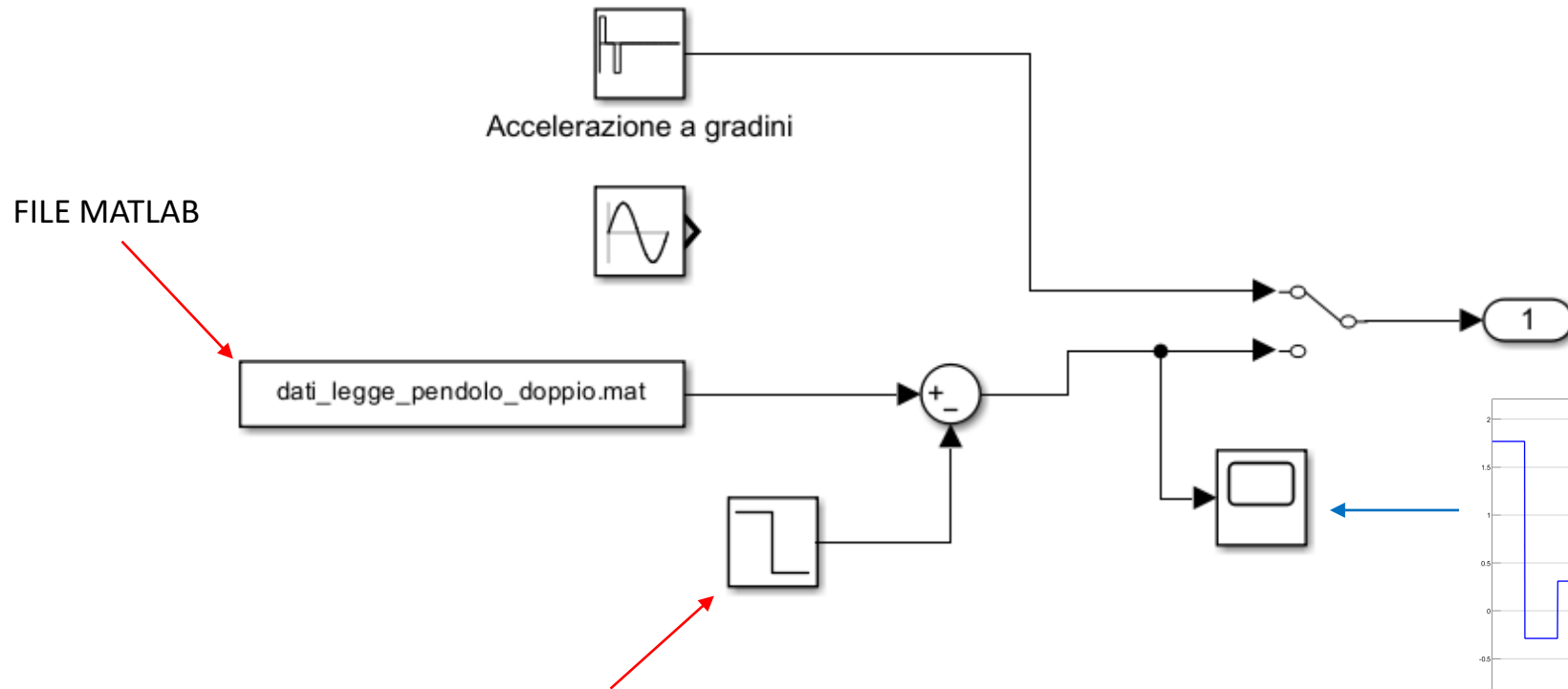


## Subsystem Simscape

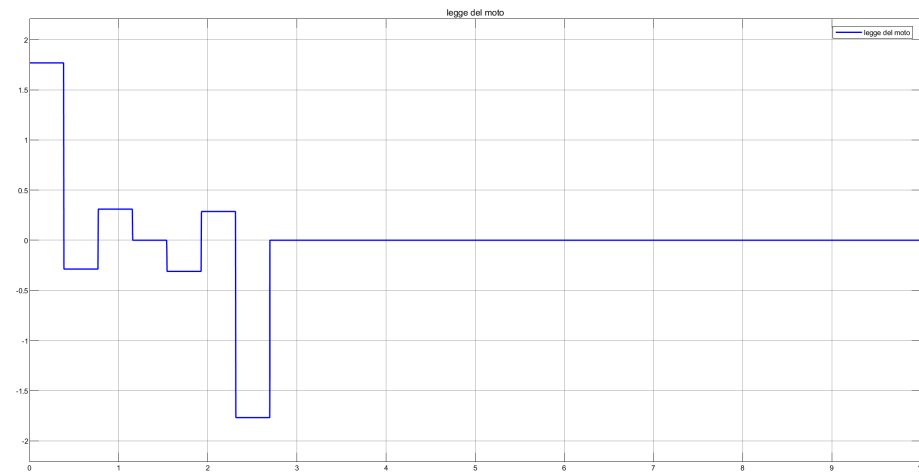


# SCHEMA A BLOCCHI

## *Forzante*



Si utilizza un blocco step per riportare l'accelerazione al valore nullo al termine dell'azionamento

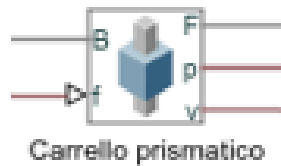


# SCHEMA A BLOCCHI

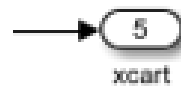
## Output spostamento e velocità del carrello



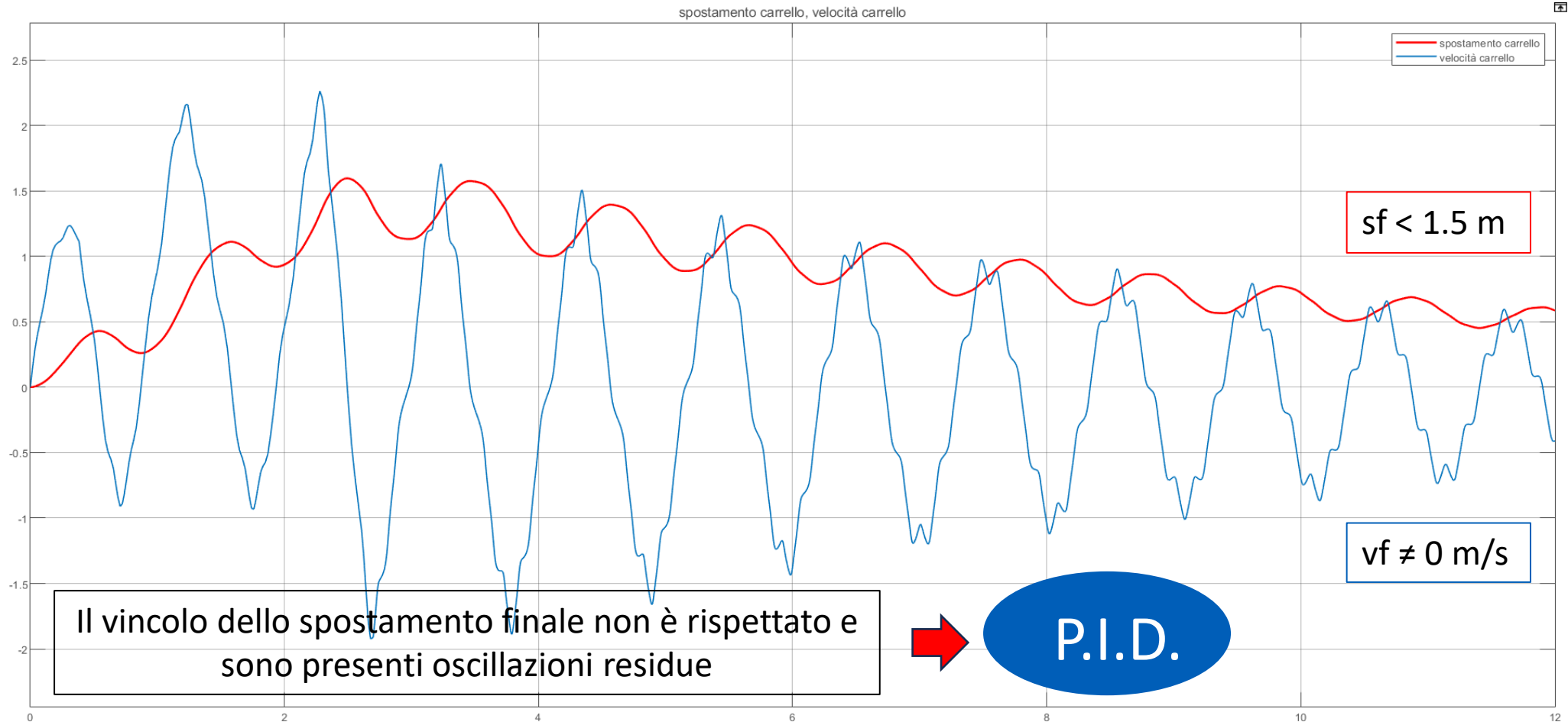
Run



OUTPUT 5



OUTPUT 6



# CALCOLI PARAMETRI PID

## Metodo Ziegler-Nicols

Control Type	$K_p$	$T_i$	$T_d$	$K_i$	$K_d$
P	$0.5K_u$	–	–	–	–
PI	$0.45K_u$	$0.83\bar{T}_u$	–	$0.54K_u/T_u$	–
PD	$0.8K_u$	–	$0.125T_u$	–	$0.10K_u T_u$
classic PID <sup>[2]</sup>	$0.6K_u$	$0.5T_u$	$0.125T_u$	$1.2K_u/T_u$	$0.075K_u T_u$



CALCOLI ZIEGLER-NICHOLS PER PID PENDOLO DOPPIO CON CARRELLO

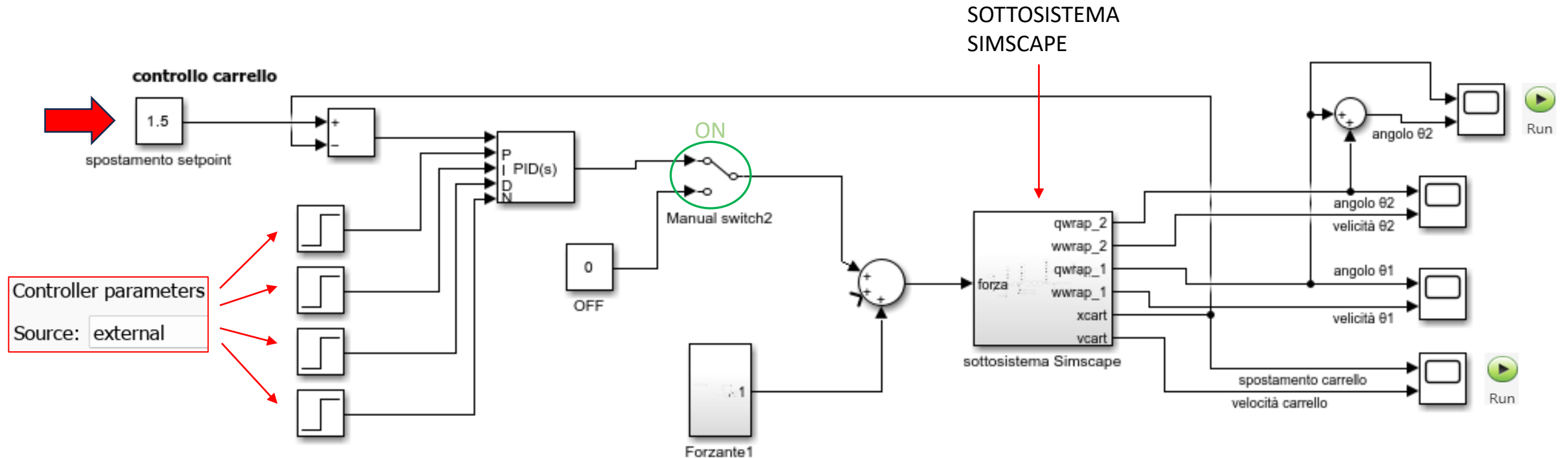
	Periodo $T_u$	5				
	$K_u$	2				
		$K_p$	$T_i$	$T_d$	$K_i$	$K_d$
	P	1				
	PI	0,9	4,15		0,216	
	PD	1,6		0,625		4,75
	classic PID	1,2	2,5	0,625	0,48	0,75

Successivamente sono state inserite le costanti  $K_p$ ,  $K_i$  e  $K_d$  del PID in Simulink



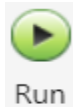
# SCHEMA A BLOCCHI

## *Schema Simulink con **PID attivo***



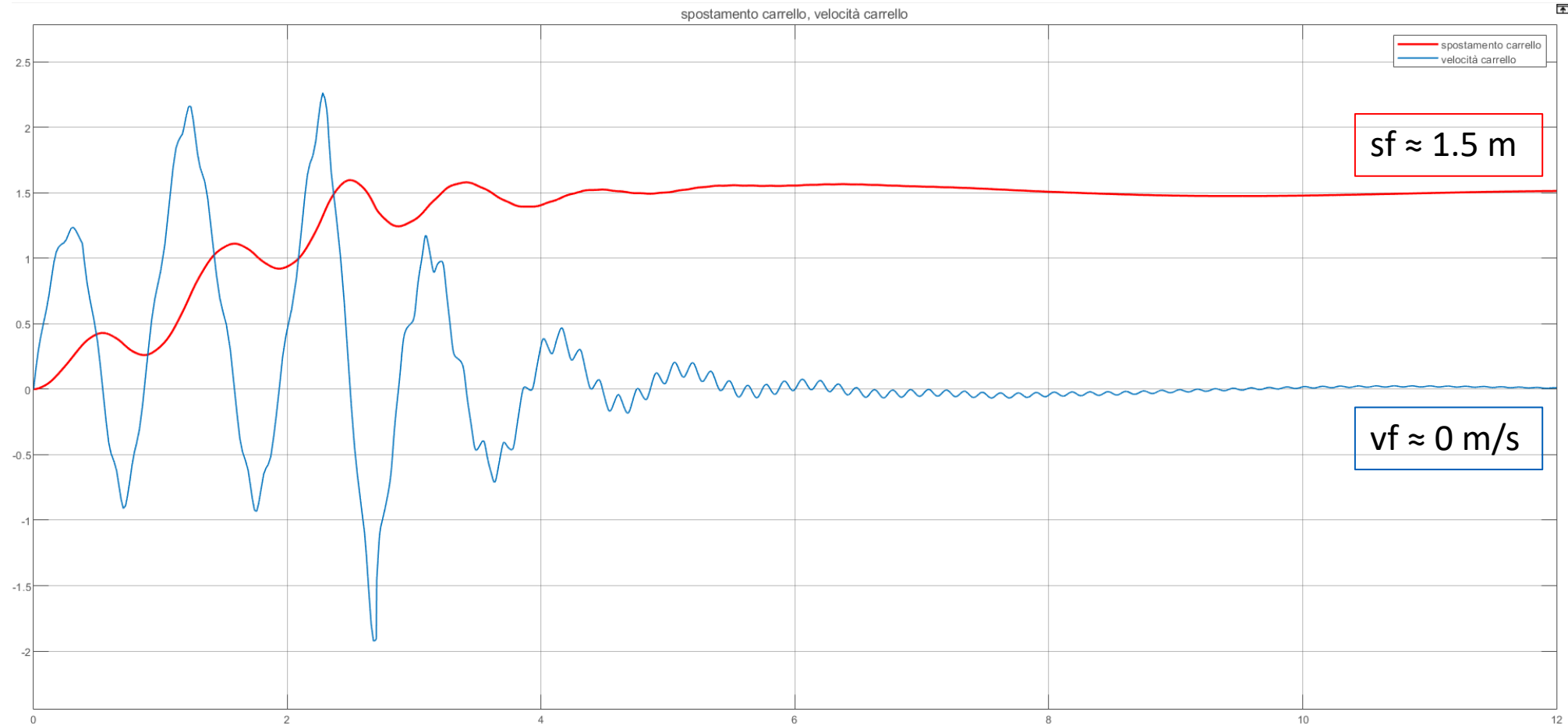
Il controllore PID entra in azione a fine azionamento ( $t_f = 2.7s$ )

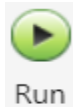




## SCHEMA A BLOCCHI

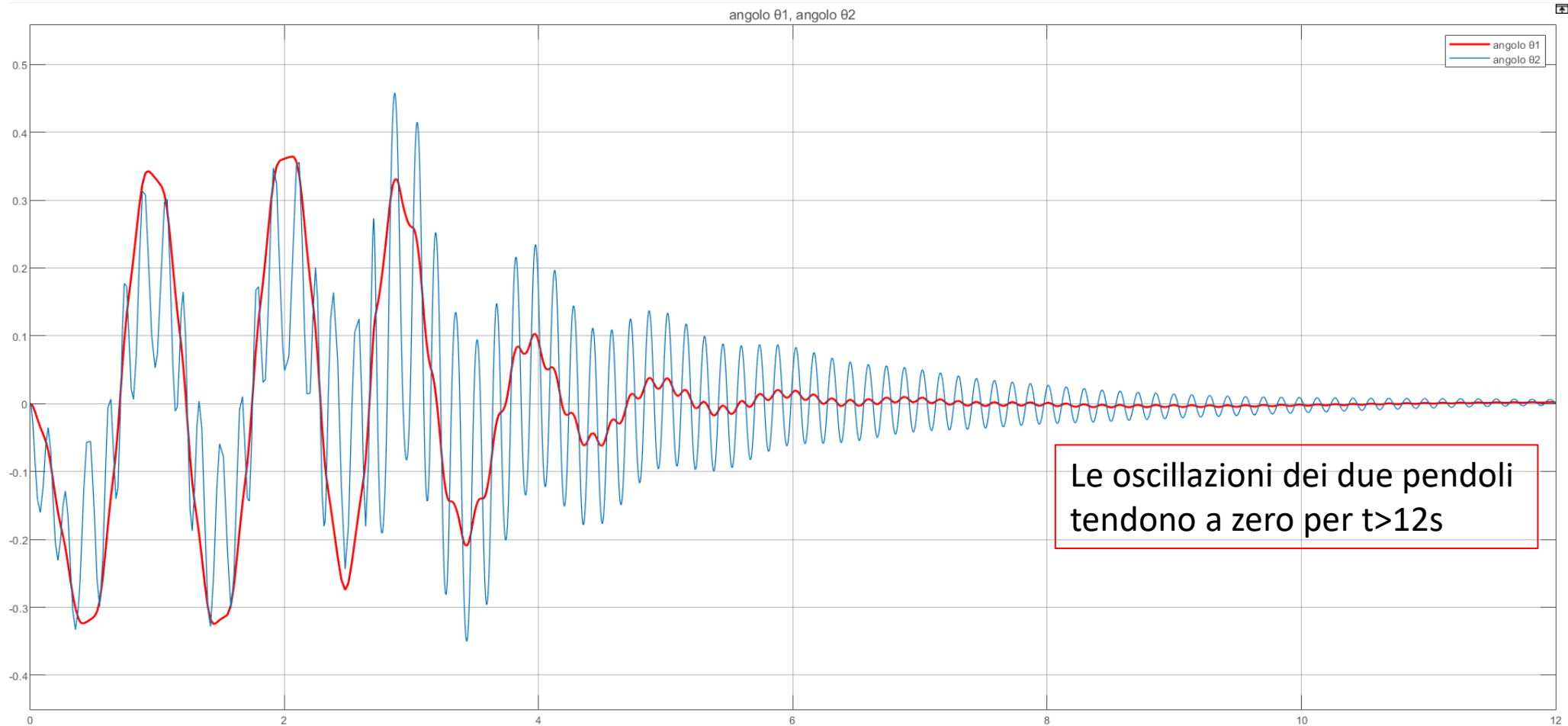
*Output spostamento e velocità del carrello con **PID attivo***



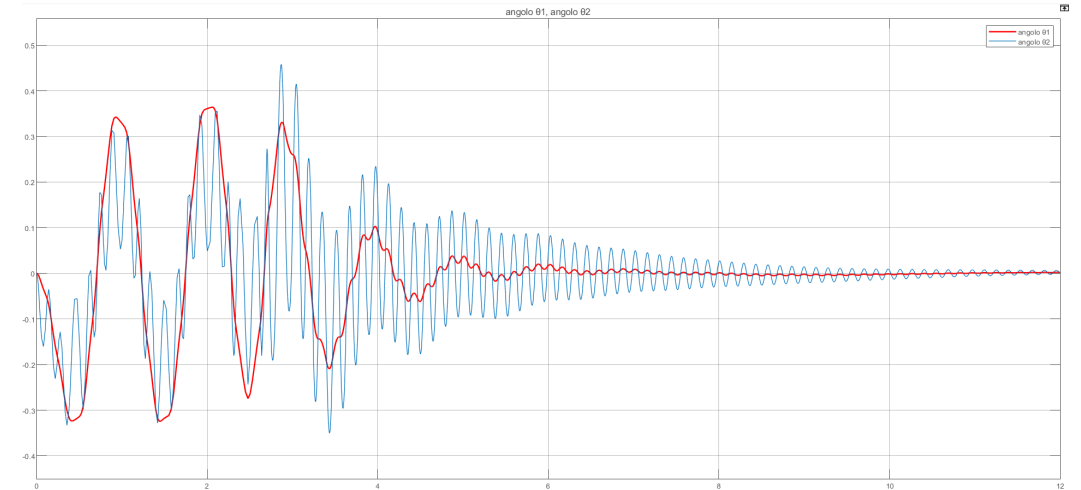
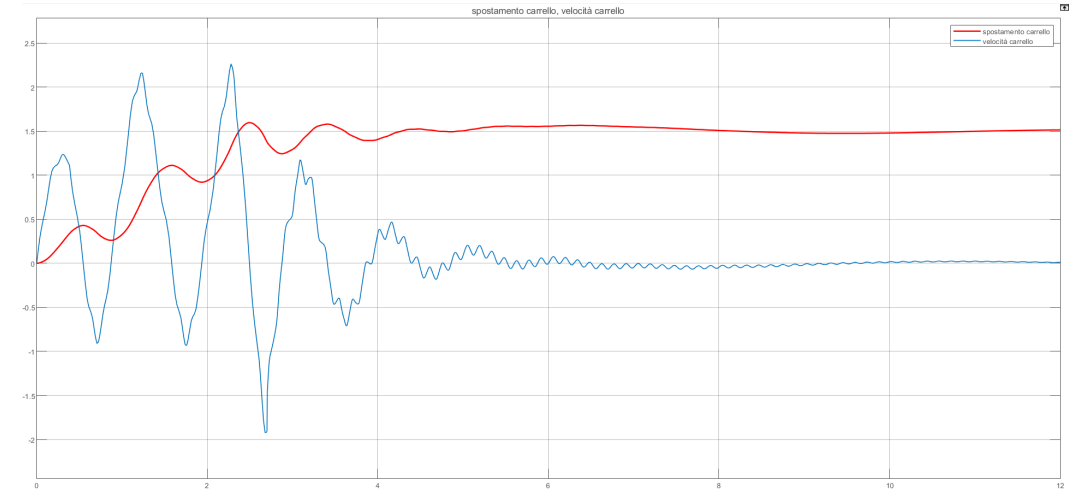
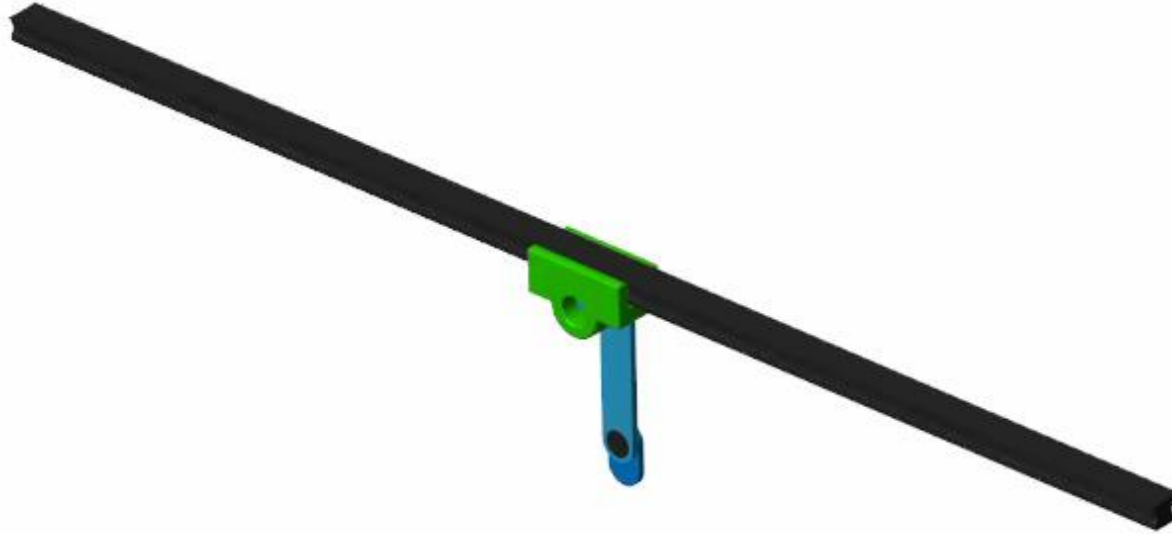


## SCHEMA A BLOCCHI

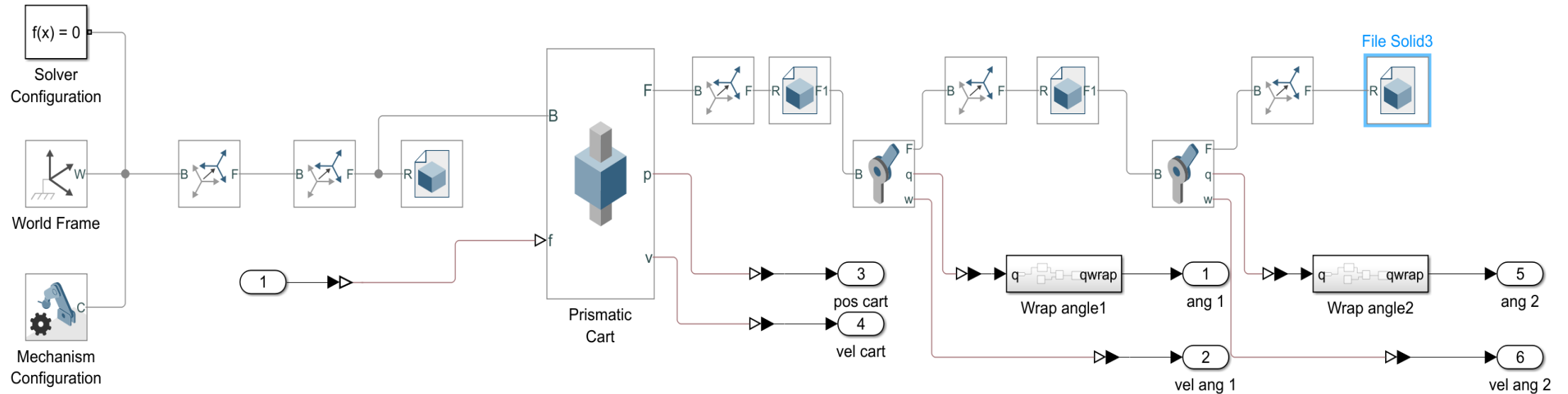
*Output spostamento angolare dei pendoli con **PID attivo***



# SIMULAZIONE MULTIBODY 'MECHANICS EXPLORERS'



## PENDOLO DOPPIO INVERSO: MODELLAZIONE TRAMITE SIMSCAPE



MODELLAZIONE IMMEDIATA,  
CONDIVISA CON IL PENDOLO DOPPIO  
CLASSICO

$$m_1 = m_2 = 0.2 \text{ kg}$$

$$l_1 = l_2 = 0.2 \text{ m}$$

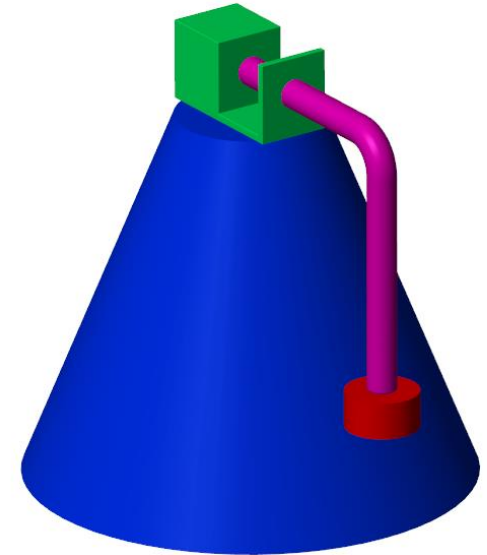
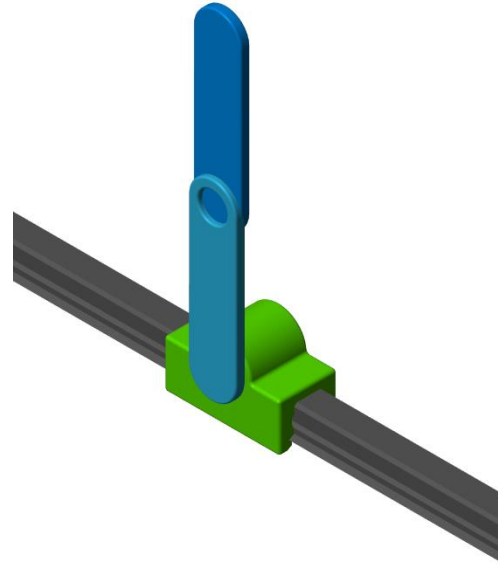
$$m_{\text{carrello}} = 0.5 \text{ kg}$$

## APPROFONDIMENTI

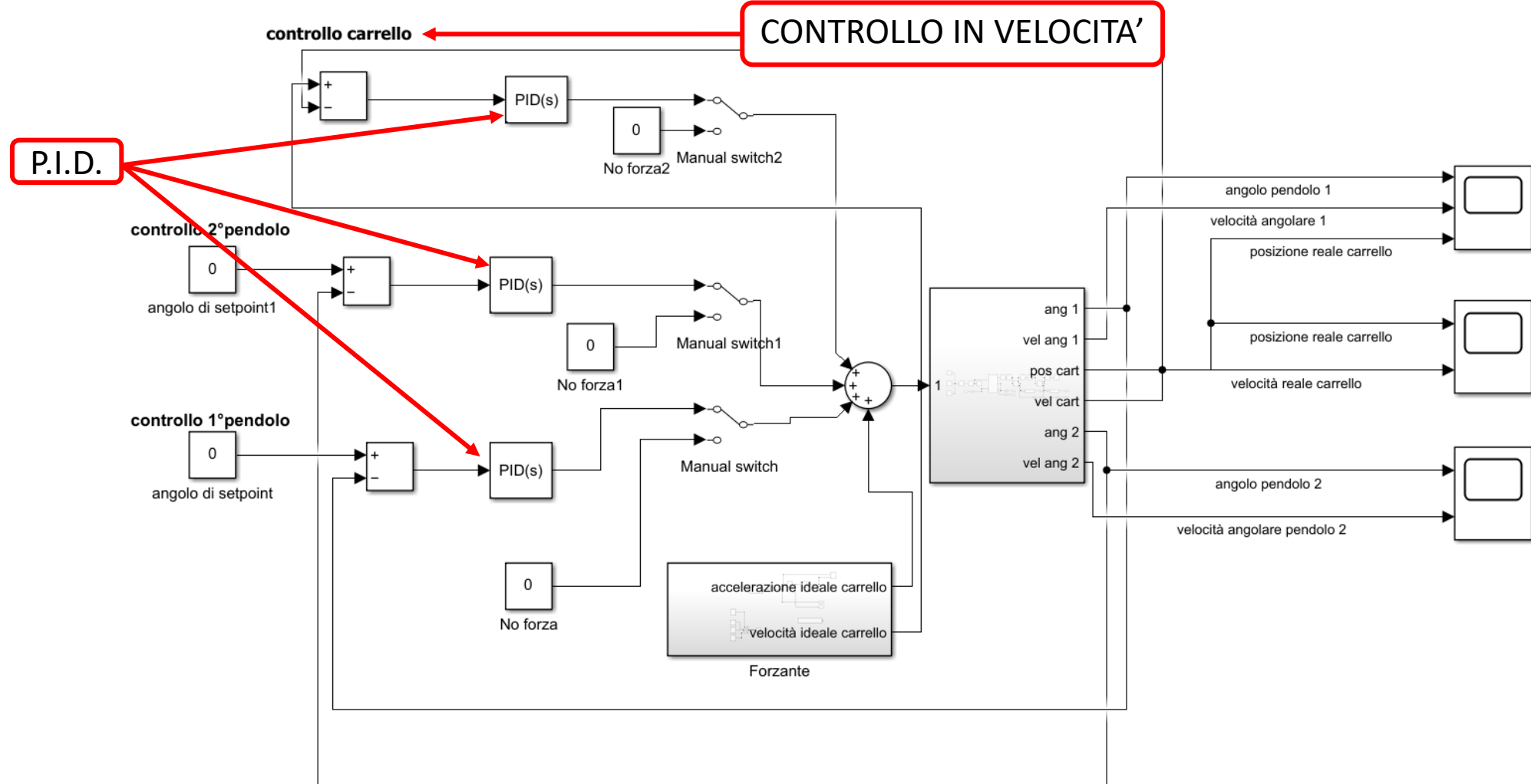
Nella sezione degli Approfondimenti ci concentriamo principalmente sullo studio di due sistemi:

- Doppio pendolo inverso
- Pendolo di Furuta

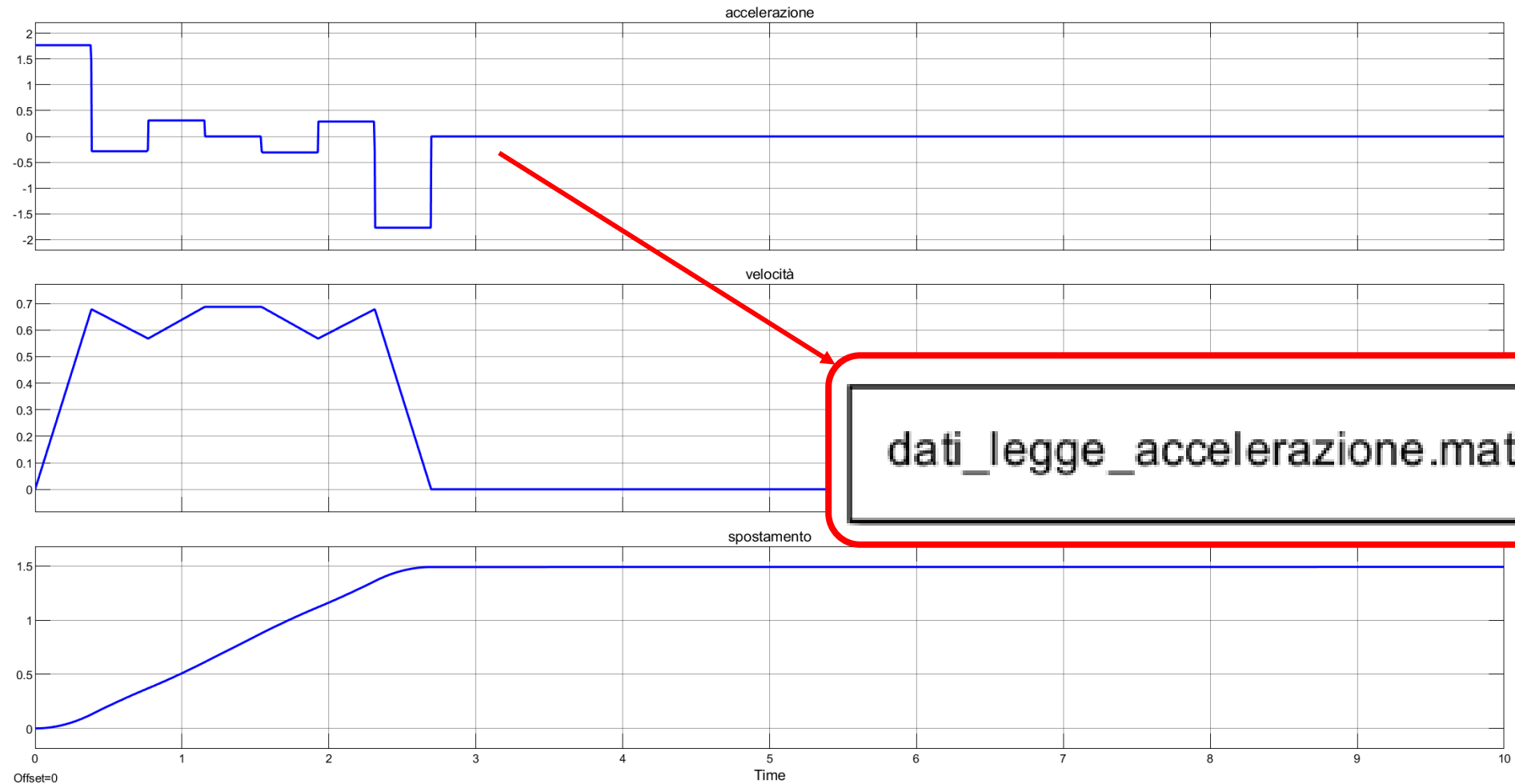
Entrambi i sistemi vedono schema Simulink e Simscape con controllo PID.



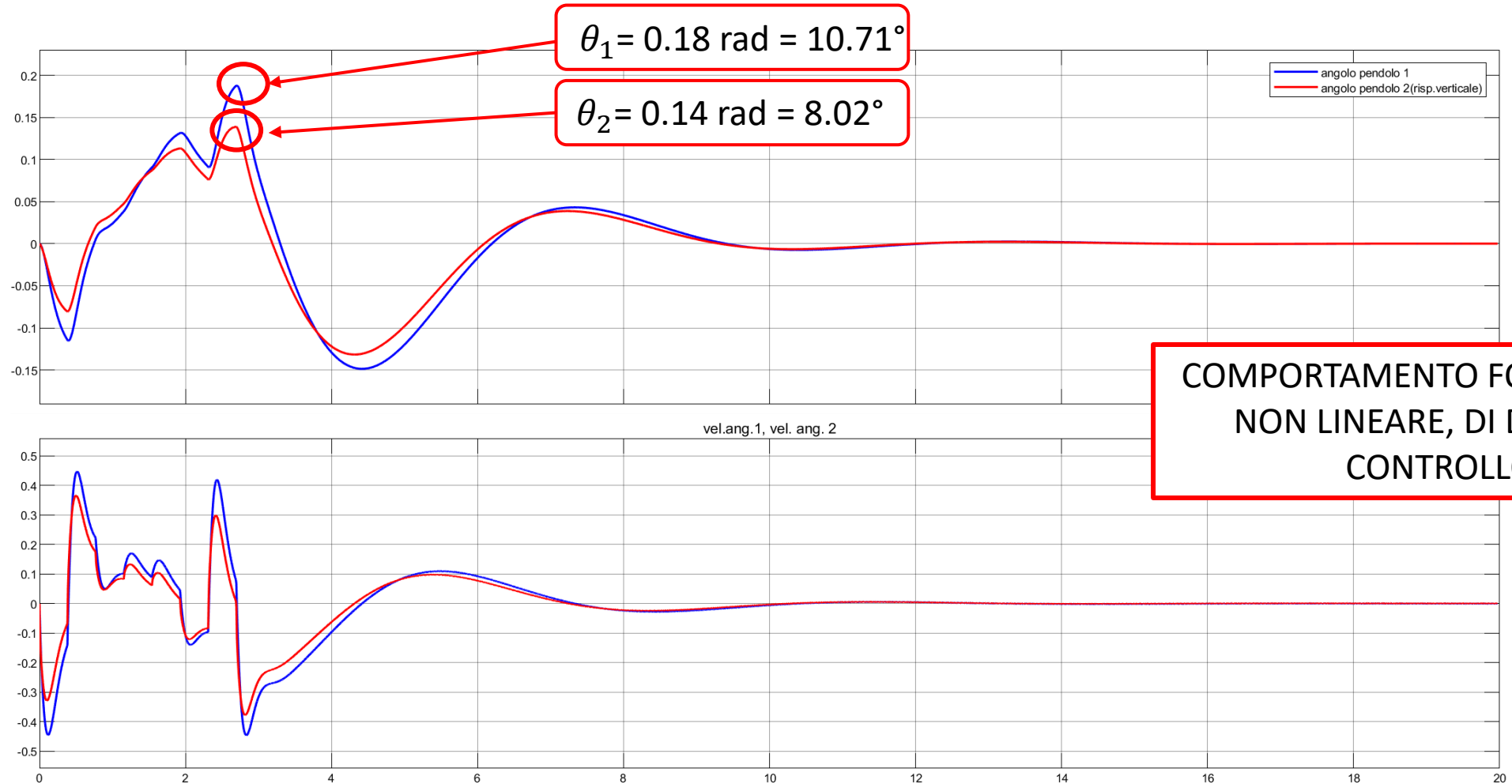
# PENDOLO DOPPIO INVERSO: MODELLAZIONE TRAMITE SIMSCAPE



# PENDOLO DOPPIO INVERSO: LEGGE DEL MOTO



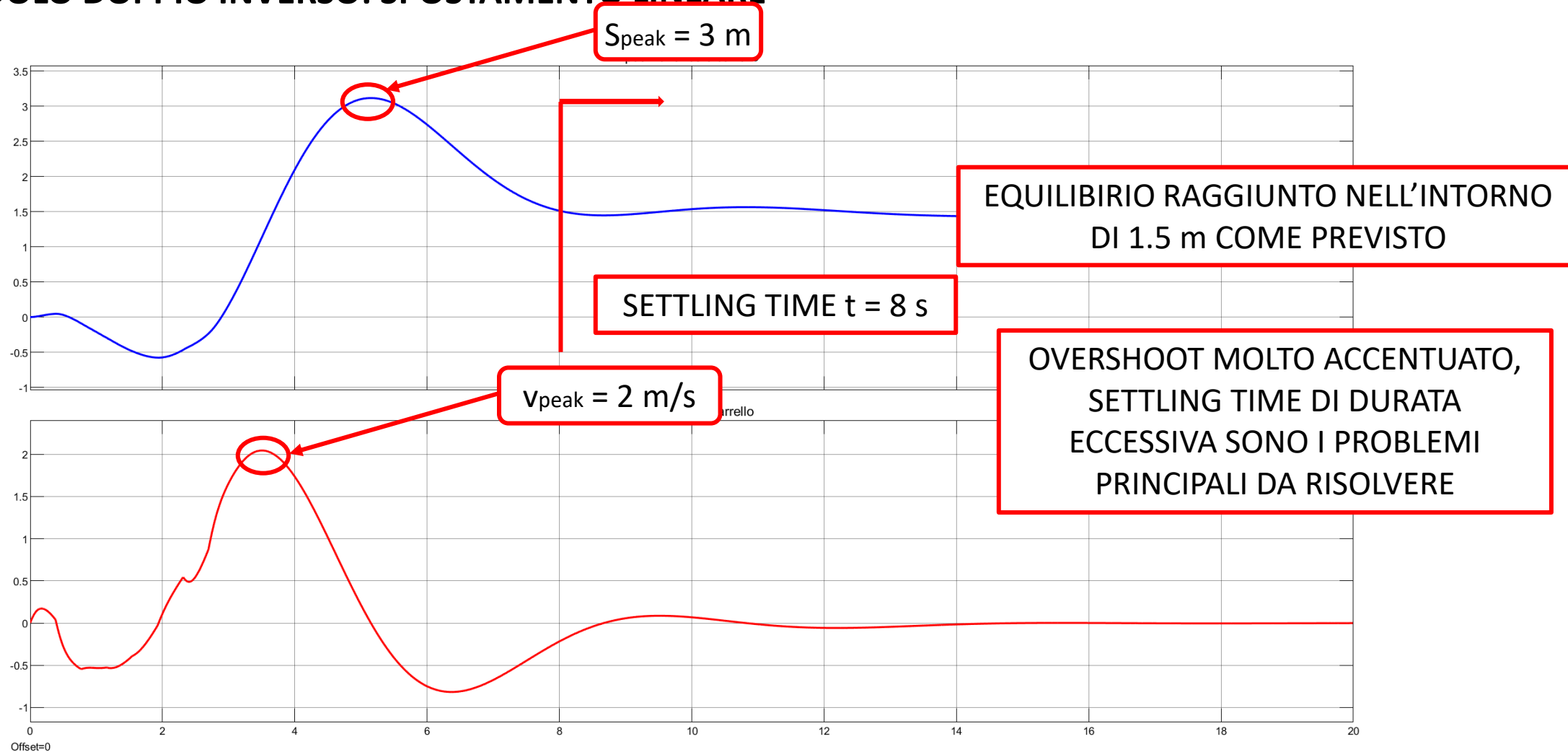
## PENDOLO DOPPIO INVERSO: SPOSTAMENTO ANGOLARE



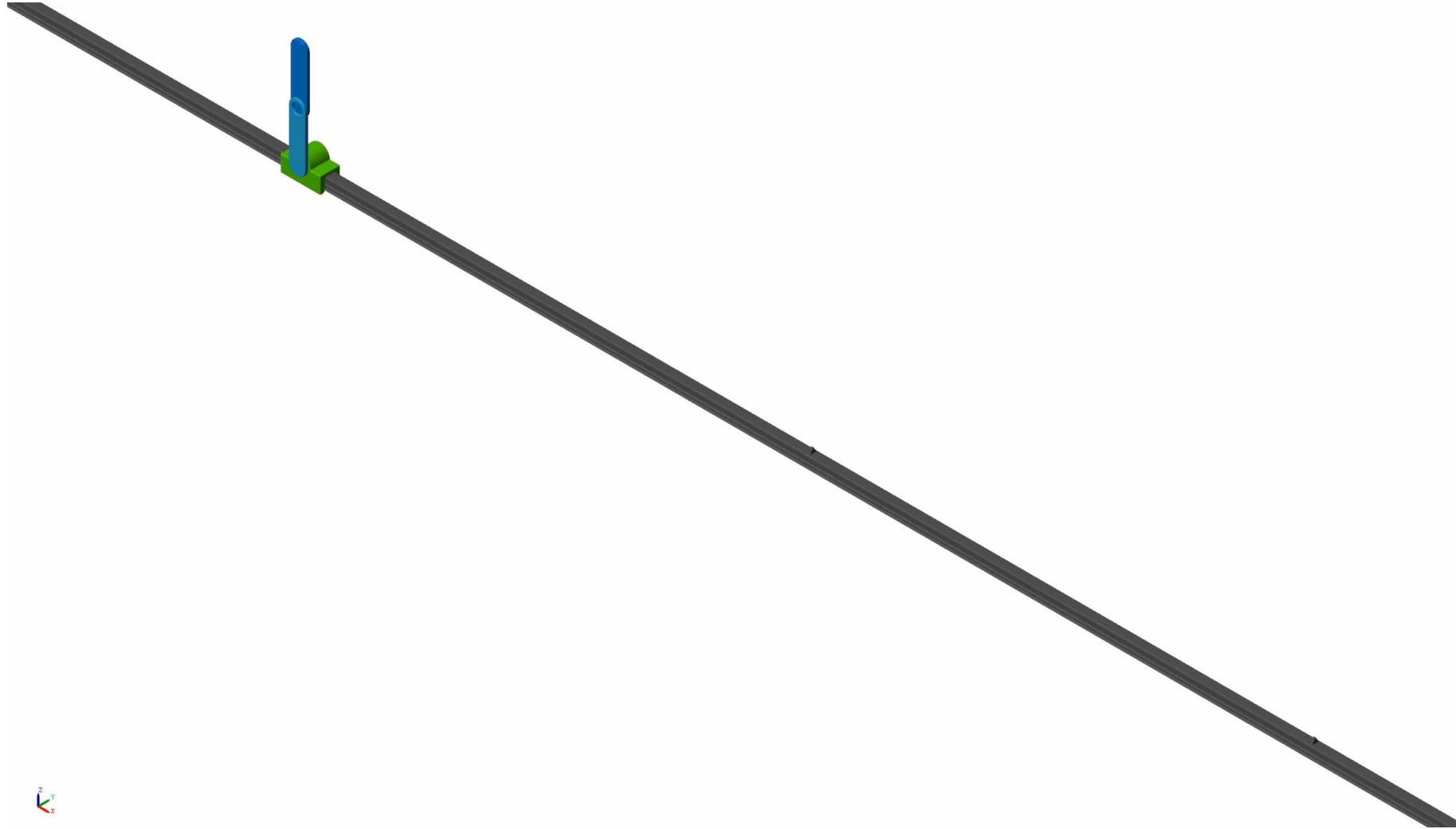
COMPORTAMENTO FORTEMENTE  
NON LINEARE, DI DIFFICILE  
CONTROLLO



## PENDOLO DOPPIO INVERSO: SPOSTAMENTO LINEARE

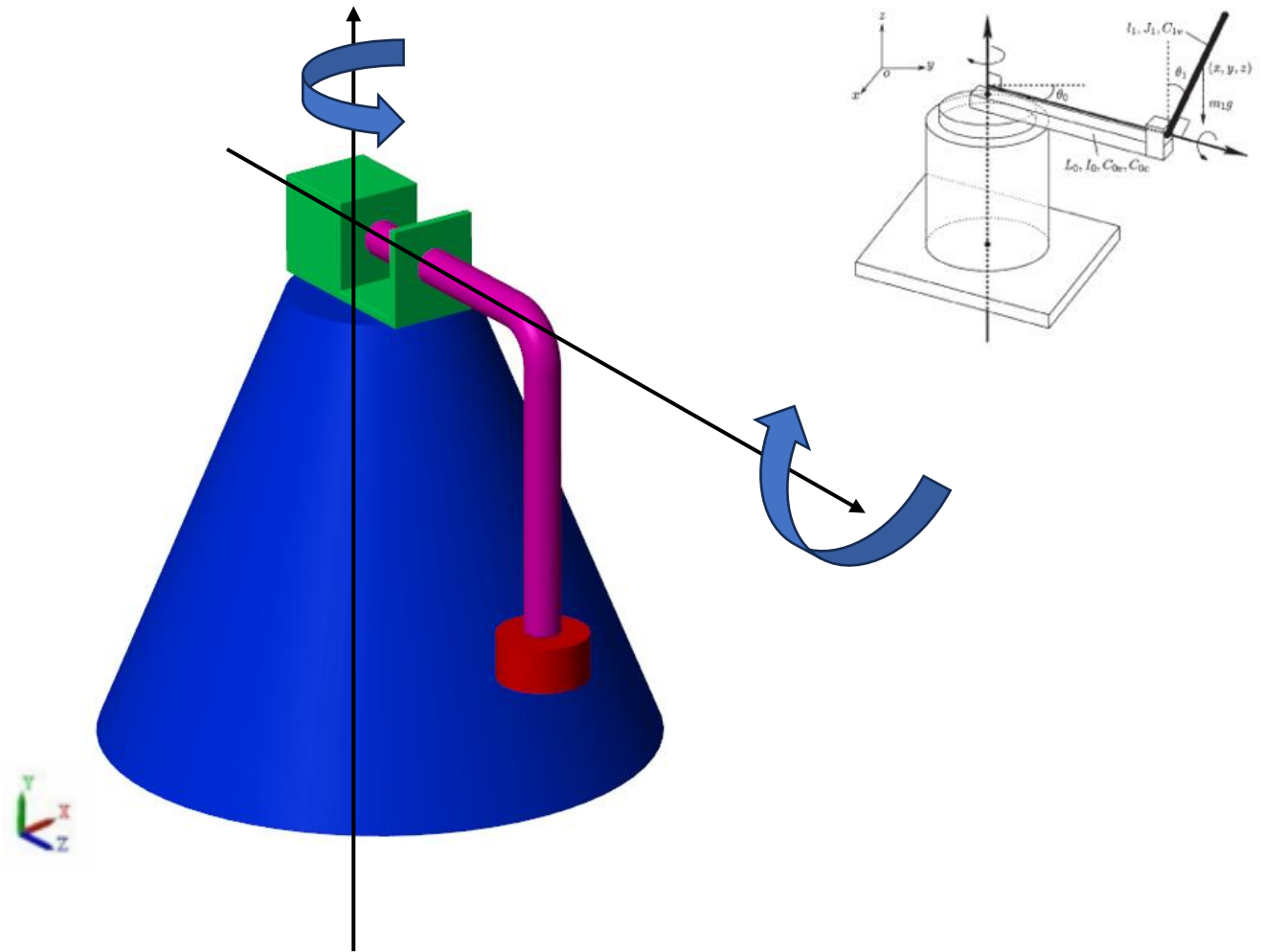


## PENDOLO DOPPIO INVERSO: SPOSTAMENTO ANGOLARE



## PENDOLO DI FURUTA

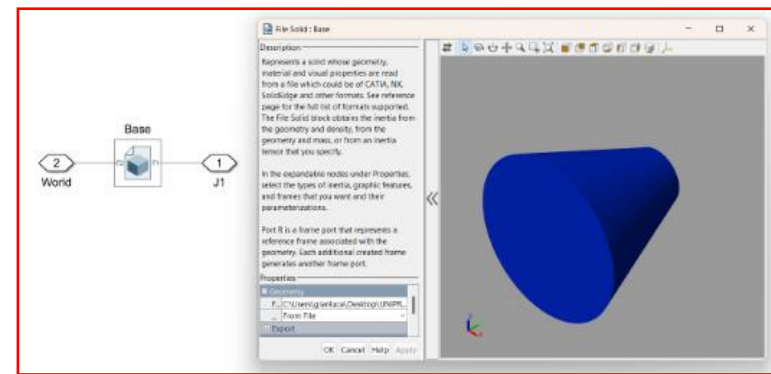
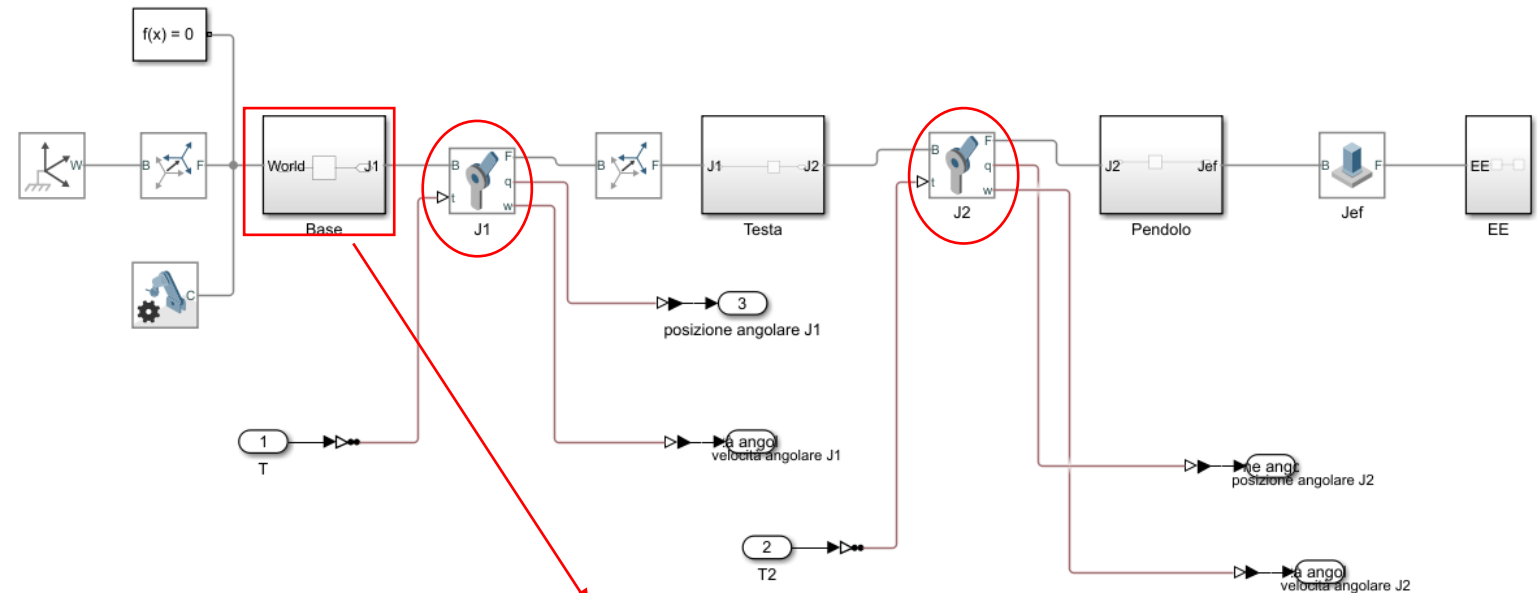
Il sistema preso in esame ha 2 gradi di libertà rotazionali, mostrati in figura. L'obiettivo dell'analisi è quello di implementare un controllo delle vibrazioni del pendolo e/o del motore (blocco verde).



## PENDOLO DI FURUTA

Il procedimento seguito per la realizzazione dei modelli è lo stesso utilizzato per i sistemi precedenti.

L'analisi è stata effettuata riferendosi al moto dei due giunti.



# PENDOLO DI FURUTA

In primo approccio, è stata implementata una coppia al J1 che simulasse quella di un motore elettrico durante un posizionamento.

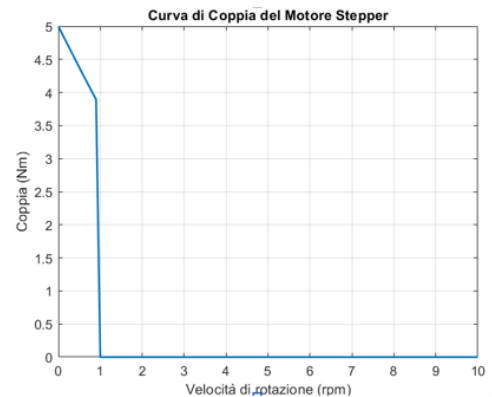
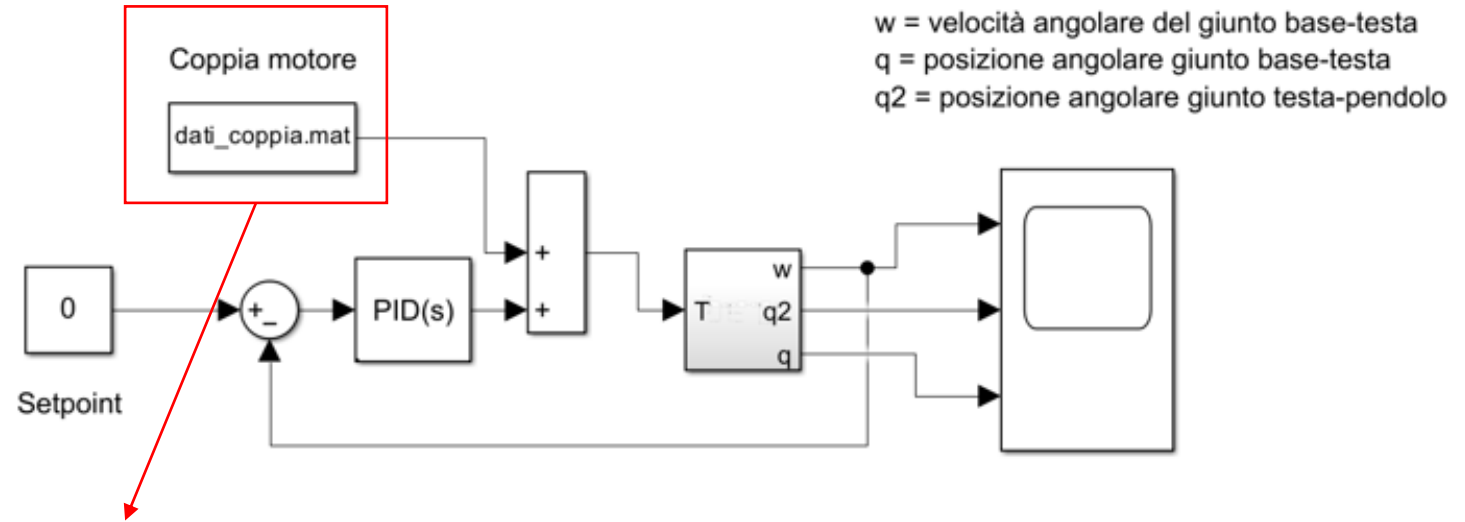


Figura 56 Curva di coppia motore elettrico

$$C = C_{max} ./ (1 + \exp(a * (w/w_0))) ;$$

## PENDOLO DI FURUTA

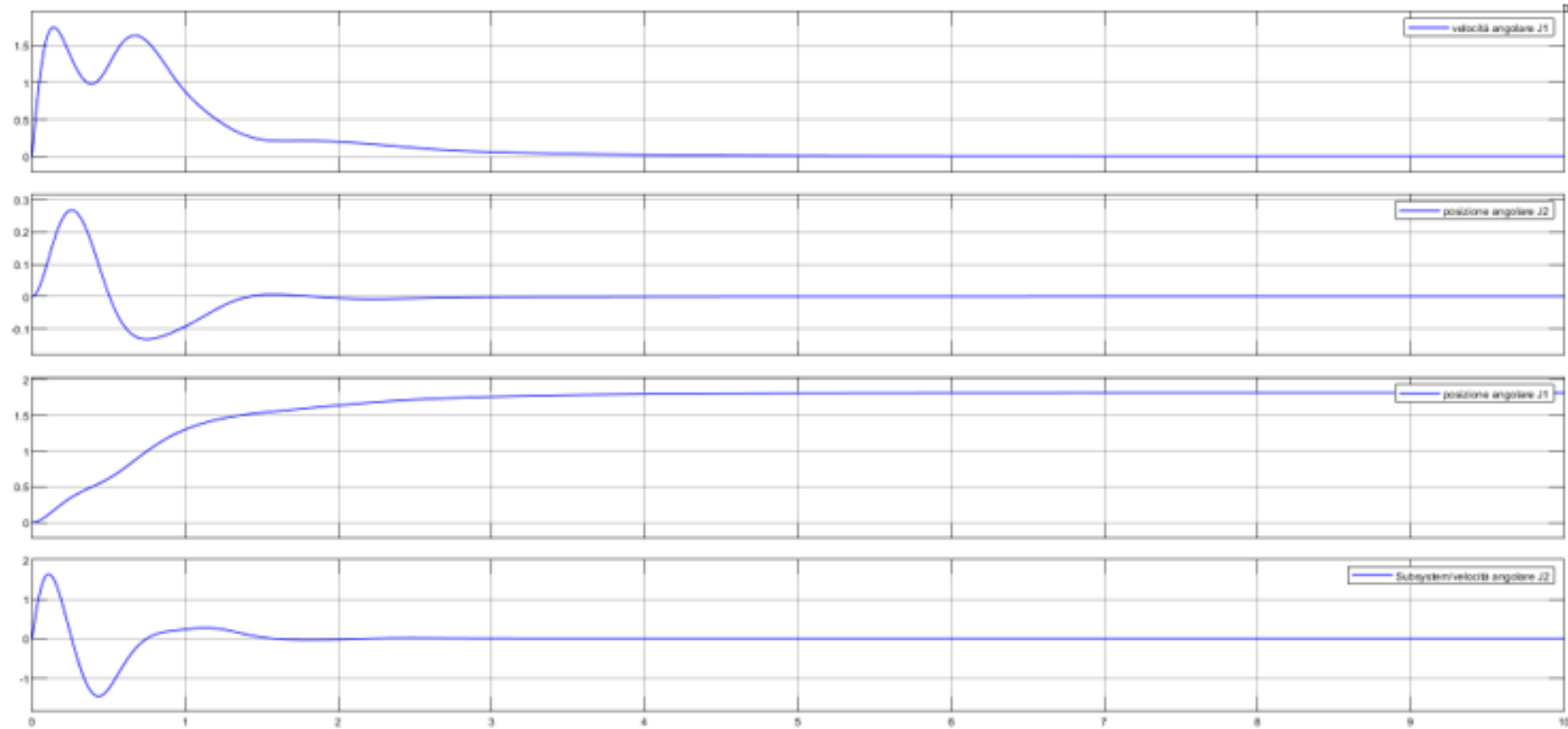
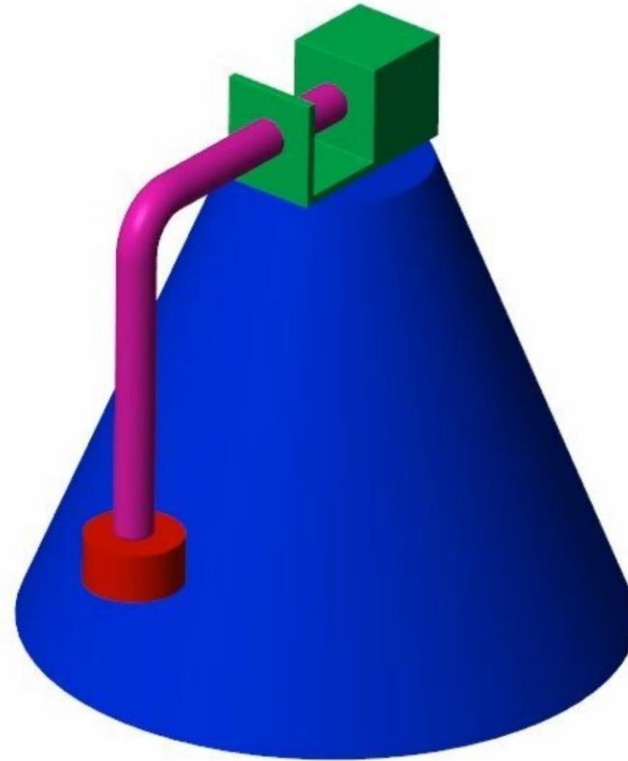


Figura 57 Posizione e velocità di J1 e J2

# PENDOLO DI FURUTA

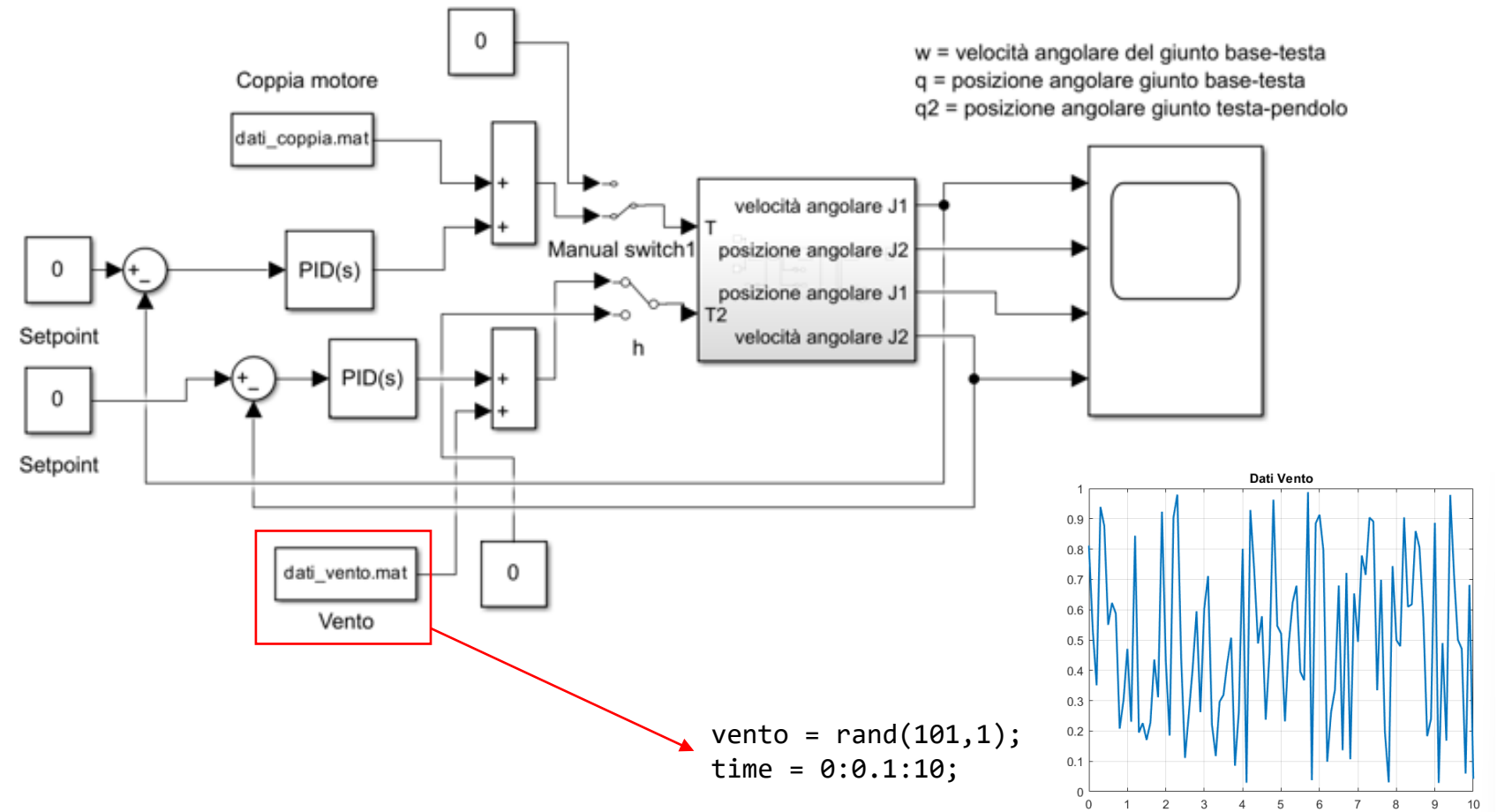
Caso con singolo controllo



## PENDOLO DI FURUTA

Si è passati, poi, ad un doppio controllo della velocità su entrambi i revolute joint.

Al joint tra motore- pendolo è stata applicata una forzante random.





## PENDOLO DI FURUTA

L'efficacia del modello è verificata poiché, anche in presenza di forzante random, le vibrazioni del pendolo sono trascurabili.

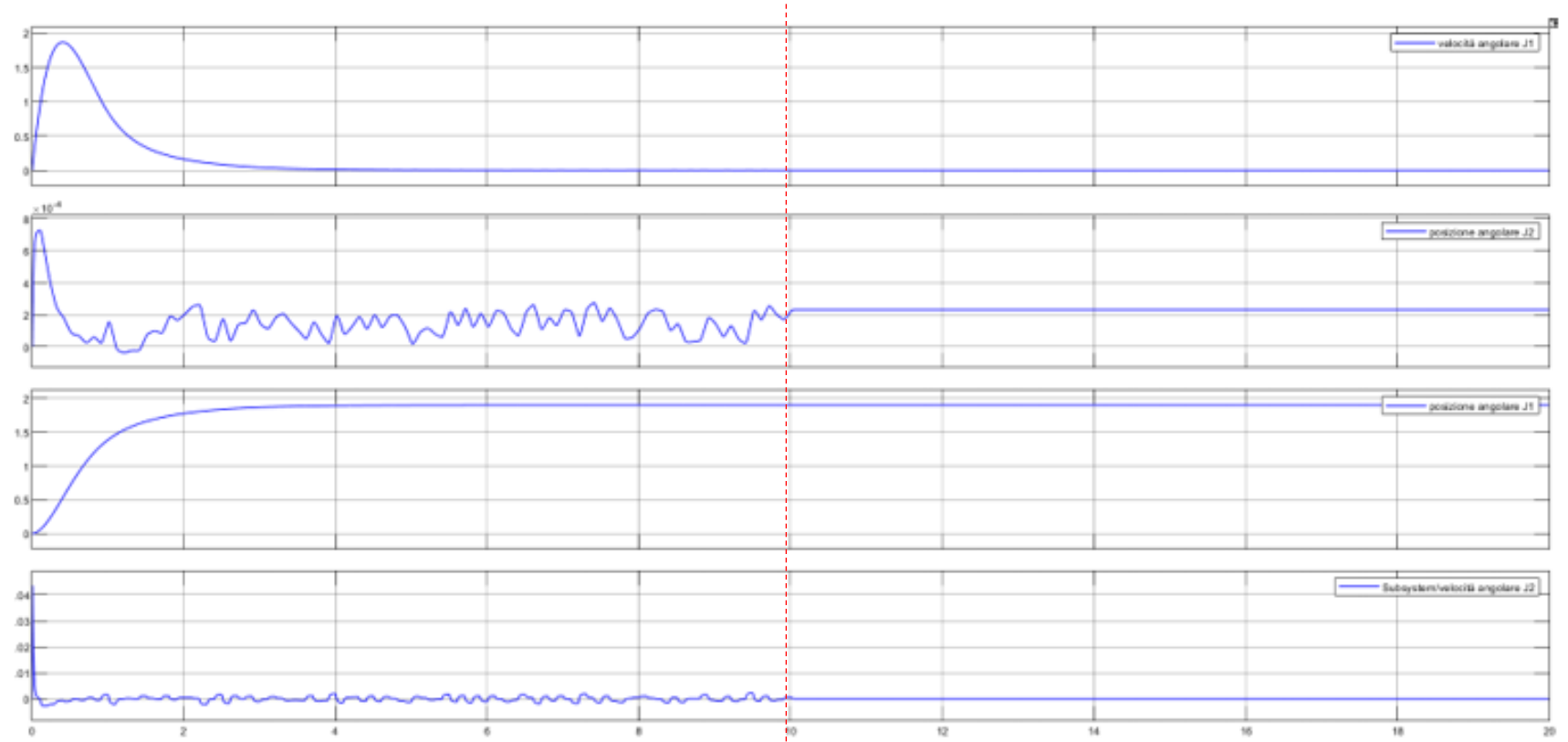
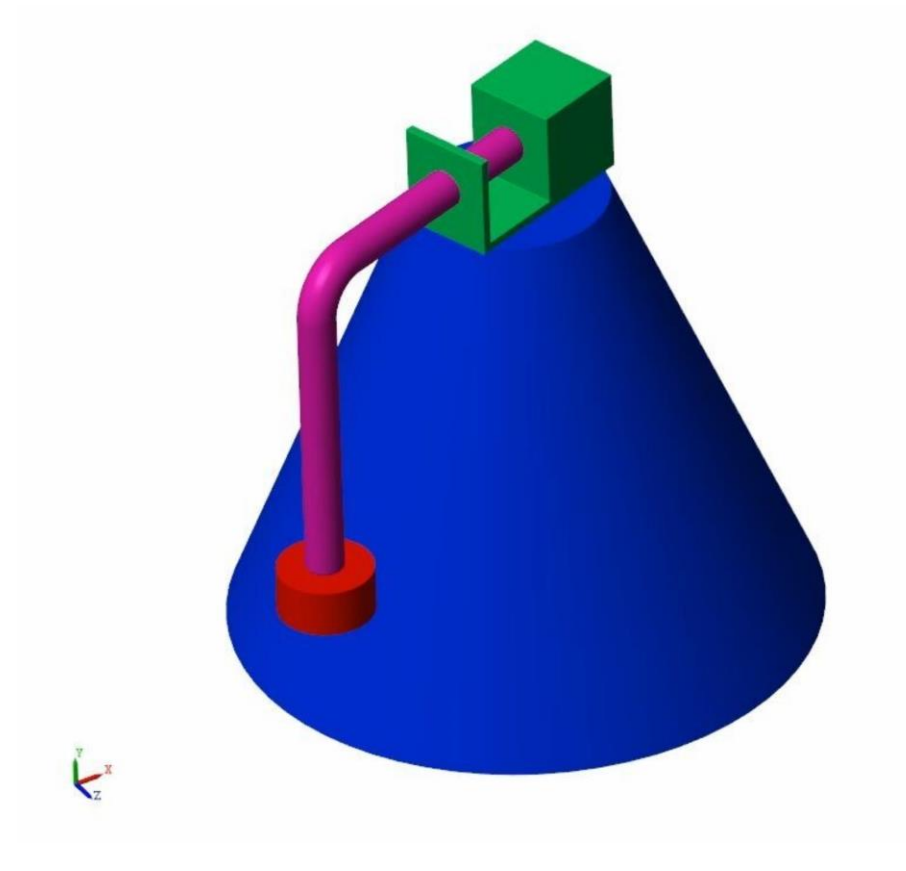


Figura 61 Grafici ottenuti con coppia nulla dopo intervallo di 10 secondi

# PENDOLO DI FURUTA

Caso con doppio controllo



GRAZIE PER  
L'ATTENZIONE

